

19



OFICINA ESPAÑOLA DE
PATENTES Y MARCAS

ESPAÑA



11 Número de publicación: **2 561 851**

51 Int. Cl.:

C12N 15/11 (2006.01)
C07H 21/04 (2006.01)
A61K 31/7088 (2006.01)
A61K 31/712 (2006.01)
A61K 31/7125 (2006.01)
A61K 48/00 (2006.01)
A61P 21/04 (2006.01)

12

TRADUCCIÓN DE PATENTE EUROPEA

T3

96 Fecha de presentación y número de la solicitud europea: **21.11.2003 E 11155689 (0)**

97 Fecha y número de publicación de la concesión europea: **27.01.2016 EP 2386636**

54 Título: **Fármacos de ácido nucleico ENA que modifican el corte y empalme en precursores de ARNm**

30 Prioridad:

25.11.2002 JP 2002340857
31.07.2003 JP 2003204381

45 Fecha de publicación y mención en BOPI de la traducción de la patente:

01.03.2016

73 Titular/es:

MATSUO, MASAFUMI (25.0%)
Department of Medical Rehabilitation, Faculty of Rehabilitation Kobegakuin University, 518 Arise, Ikawadani-cho, Nishi-ku Kobe-shi, Hyogo 651-2180, JP;
ORPHAN DISEASE TREATMENT INSTITUTE CO., LTD. (25.0%);
TAKESHIMA, YASUHIRO (25.0%) y
DAIICHI SANKYO COMPANY, LIMITED (25.0%)

72 Inventor/es:

MATSUO, MASAFUMI;
TAKESHIMA, YASUHIRO y
KOIZUMI, MAKOTO

74 Agente/Representante:

UNGRÍA LÓPEZ, Javier

ES 2 561 851 T3

Aviso: En el plazo de nueve meses a contar desde la fecha de publicación en el Boletín europeo de patentes, de la mención de concesión de la patente europea, cualquier persona podrá oponerse ante la Oficina Europea de Patentes a la patente concedida. La oposición deberá formularse por escrito y estar motivada; sólo se considerará como formulada una vez que se haya realizado el pago de la tasa de oposición (art. 99.1 del Convenio sobre concesión de Patentes Europeas).

DESCRIPCIÓN

Fármacos de ácido nucleico ENA que modifican el corte y empalme en precursores de ARNm

5 **Campo técnico**

La presente invención se refiere a agentes farmacéuticos de ácido nucleico ENA capaces de modificar el corte y empalme de precursores de ARNm. Más específicamente, la presente invención se refiere a compuestos de oligonucleótido antisentido para secuencias potenciadoras del corte y empalme en el exón 51 del gen de la distrofina, así como agentes terapéuticos para la distrofia muscular que comprenden los compuestos.

Técnica antecedente

La distrofia muscular, que es una enfermedad muscular genética, se clasifica de forma aproximada en distrofia muscular de Duchenne (DMD) y distrofia muscular de Becker (BMD). La DMD es la enfermedad muscular genética que aparece más frecuentemente y sucede en una proporción de 1 por 3.500 nacimientos de varones. Los pacientes de DMD muestran síntomas de debilitación de los músculos en su niñez; después de ello, la atrofia muscular progresa de forma constante y provoca la muerte a la edad de aproximadamente 20. Actualmente, no existe agente terapéutico eficaz para DMD. El desarrollo de agentes terapéuticos está fuertemente demandado por pacientes con DMD en todo el mundo. La BMD en muchos casos sucede en la adultez y la mayoría de los pacientes son capaces de una supervivencia normal aunque se observa ligera debilitación de los músculos. Se han identificado mutaciones de delecciones en el gen de la distrofina en 2/3 casos de DMD y BMD. El progreso de los síntomas clínicos en pacientes con DMD o BMD es predecible dependiendo de si dichas delecciones alteran la fase de lectura traduccional del ARNm o mantienen esa fase de lectura (Monaco A.P. *et al.*, Genomics 1988: 2:90-95). Aunque la biología molecular para comprender la DMD se ha profundizado de este modo, aún no se ha establecido un método eficaz para tratar la DMD.

Cuando los pacientes de DMD tienen una mutación de desplazamiento de fase, la proteína distrofina desaparece completamente de los músculos esqueléticos de los pacientes. Por otro lado, la proteína distrofina se produce a partir de ARNm en fase en tejidos musculares derivados de pacientes con BMD, aunque la proteína está incompleta. Como método para tratar la DMD, se conoce un método en que una mutación fuera de fase (la fase de lectura de aminoácidos está desplazada) se convierte en una mutación en fase (la fase de lectura se mantiene) modificando el ARNm de la distrofina (Matsuo M., Brain Dev 1996; 18:167-172). Recientemente, se ha informado de que el ratón mdx sintetizaba una distrofina que contiene delección como resultado de la inducción de salto de exón con un oligonucleótido complementario a la secuencia consenso de corte y empalme del gen de la distrofina (Wilton S.D. *et al.*, Neuromusc Disord 1999; 9:330-338; Mann C.J. *et al.*, Proc Natl Acad Sci USA 2001: 98:42-47). En estos estudios, el salto de exón se induce usando como diana la secuencia consenso de corte y empalme localizada en el límite entre dos exones.

Se asevera que el corte y empalme está regulado por secuencias potenciadoras de corte y empalme (SES). De hecho, se ha demostrado que alterando las SES en el exón 19 del gen de la distrofina con un oligonucleótido antisentido complementario al mismo, sucede un salto completo del exón 19 en células linfoblastoides normales (Takeshima Y *et al.*, J Clin Invest 1995: 95:515-520; Pramono Z.A. *et al.*, Biochem Biophys Res Commun 1996: 226:445-449).

También se ha informado de que introduciendo un oligonucleótido complementario a la SES en el exón 19 del gen de la distrofina para inducir de este modo el salto de exón, se producía satisfactoriamente una distrofina que contiene delección en células musculares derivadas de pacientes con DMD que portan delección del exón 20 (Takeshima Y *et al.*, Brain & Development 2001: 23:788-790; publicación de patente japonesa no examinada N.º H11-140930; publicación de patente japonesa no examinada N.º 2002-10790). Esto indica que reparando el desplazamiento de la fase de lectura induciendo un salto del exón 19 con un oligonucleótido antisentido complementario a la SES en el exón 19 del gen de la distrofina se provoca la producción de una proteína distrofina cuya función está parcialmente restaurada; y por tanto es posible cambiar de DMD a BMD. Si es posible convertir la DMD, una miostrofia grave, en BMD ligera, puede esperarse prolongar las vidas de los pacientes.

Actualmente, se están desarrollando análogos oligonucleotídicos que tienen actividad antisentido estable y excelente (publicación de patente japonesa no examinada N.º 2000-297097).

Aartsma-Rus *et al.* (2002) Neuromuscular Disorders 12: S71-S77 analizan terapias de corrección génica dirigidas a la restauración de la fase de lectura en pacientes con distrofia muscular de Duchenne. El documento WO 2004/083446 describe métodos para generar oligonucleótidos con que puede saltarse un exón en un pre-ARNm y por tanto para excluirse de un ARNm producido del mismo. El documento EP-A-1 111 097 describe métodos para inducir el salto del exón en células eucarióticas proporcionando un agente capaz de inhibir específicamente una señal de inclusión de exón, tal como una secuencia de reconocimiento de exón, de dicho exón. Los documentos EP-A-1 160 318 y EP-A-1 191 098 describen oligonucleótidos antisentido dirigidos contra secuencias potenciadoras de empalme en el gen de la distrofina. Surono *et al.* (Human Gene Therapy (2004) 15:749-757) describe

oligonucleótidos que consisten en 2'-Ometil ARN y un ácido nucleico puenteado en 2'-O,4'-C-etileno diseñado para unirse al sitio de mutación del exón 41 de distrofina. Wells *et al.* (FEBS Letters (2003) 552:145-149) comunica el uso de la transferencia electrónica potenciada por hialuronidasa para suministrar oligonucleótidos antisentido de fosforotioato modificados en 2'-O-metilo al músculo de ratón distrófico adulto.

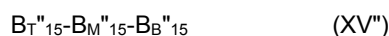
5 Un objeto de la presente invención es proporcionar agentes terapéuticos con rango de aplicación más amplio y mayor eficacia, mejorando los oligonucleótidos antisentido para la SES en el exón 51 del gen de la distrofina.

Divulgación de la invención

10 Como resultado de investigaciones extensivas e intensivas hacia la consecución del objeto descrito anteriormente, los presentes inventores han conseguido diseñar y sintetizar esas secuencias de nucleótidos y compuestos de oligonucleótido antisentido que tienen mayor efecto de salto de exón sobre el exón 51 del gen de la distrofina. Por tanto, la presente invención se ha conseguido.

15 La presente invención puede resumirse del siguiente modo.

[1] Un compuesto capaz de inducir el salto del exón 51 del gen de la distrofina, que es (a) un oligonucleótico que consiste en la secuencia de nucleótidos mostrada en una cualquiera de las SEC ID N.º 64, 66, 87 y 88, donde al menos uno de los azúcares que constituyen el oligonucleótido está modificado, y donde al menos dicho azúcar es D-ribofuranosa y al menos una modificación de dicho azúcar es 2'-O, 4'-C alquilenación de la D-ribofuranosa, o (b) un compuesto representado por la fórmula general (XV"); o una sal farmacológicamente aceptable del mismo, donde dicha fórmula general se define del siguiente modo:



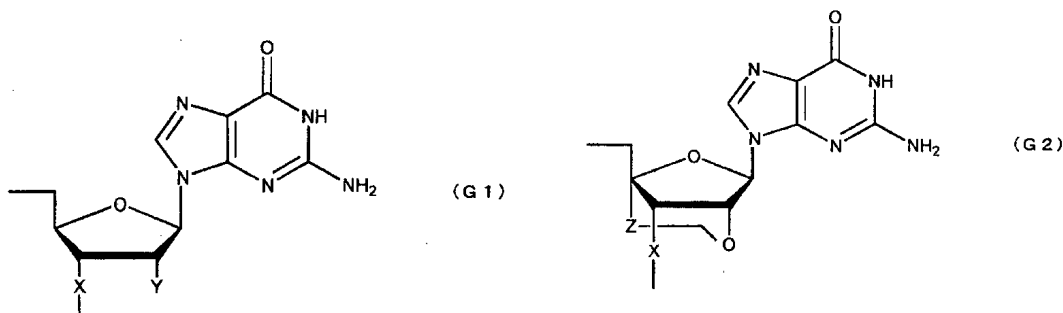
25 donde B_T^{*15} es un grupo representado por una cualquiera de las siguientes (15a") a (15j"):

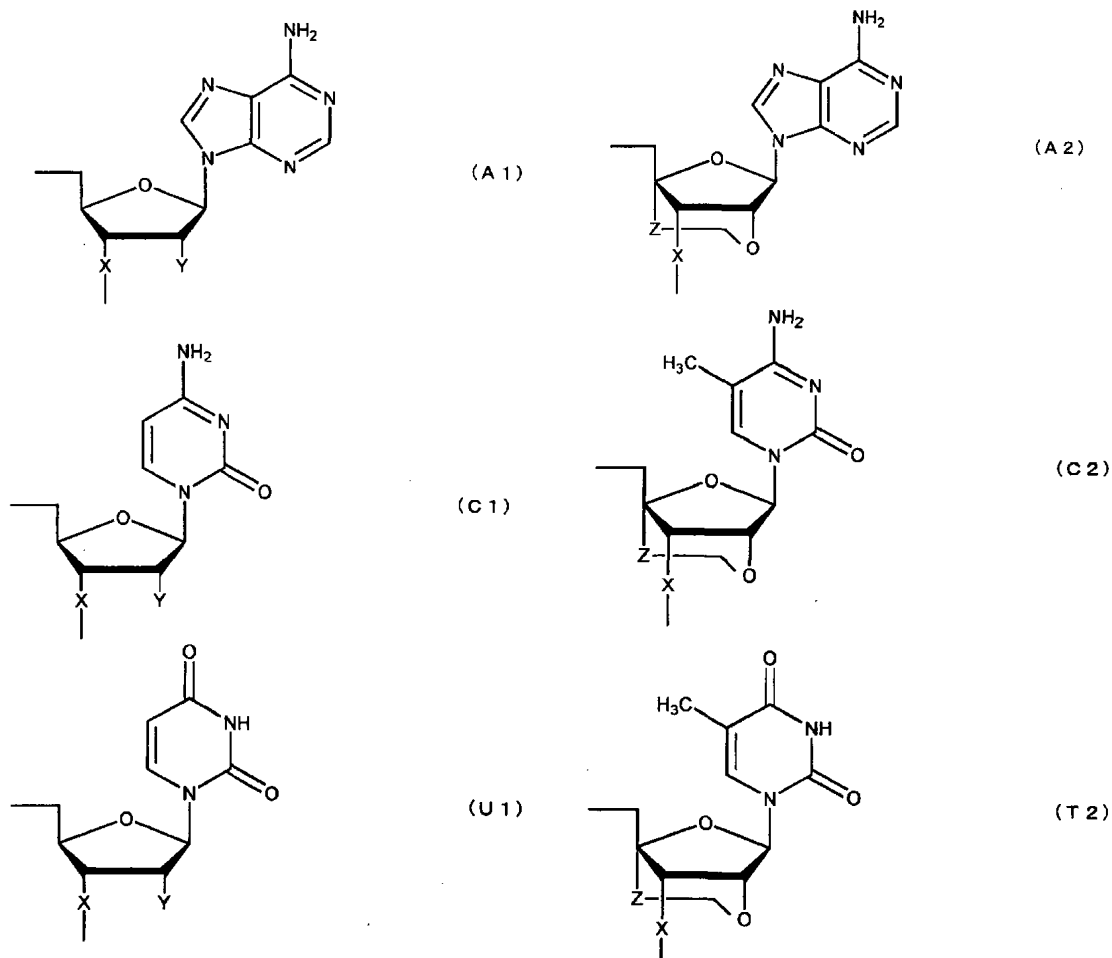
- | | |
|--------------------------------------|--------------------------------------|
| (15a")HO-, | (15b")HO-Bt-, |
| (15c")HO-Bc-Bt-, | (15d")HO-Bt-Bc-Bt-, |
| (15e")HO-Bt-Bt-Bc-Bt-, | (15f")HO-Bt-Bt-Bt-Bc-Bt-, |
| (15g")HO-Ba-Bt-Bt-Bt-Bc-Bt-, | (15h")HO-Bc-Ba-Bt-Bt-Bt-Bc-Bt-, |
| (15i")HO-Bg-Bc-Ba-Bt-Bt-Bt-Bc-Bt-, o | (15j")HO-Bg-Bg-Bc-Ba-Bt-Bt-Bt-Bc-Bt- |
- B_M^{*15} es un grupo representado por la siguiente formula (15"):
- | | |
|------------------------------|-------|
| -Ba-Bg-Bt-Bt-Bt-Bg-Bg-Ba-Bg- | (15") |
|------------------------------|-------|

35 B_B^{*15} es un grupo representado por una cualquiera de la siguientes (115a") a (115j"):

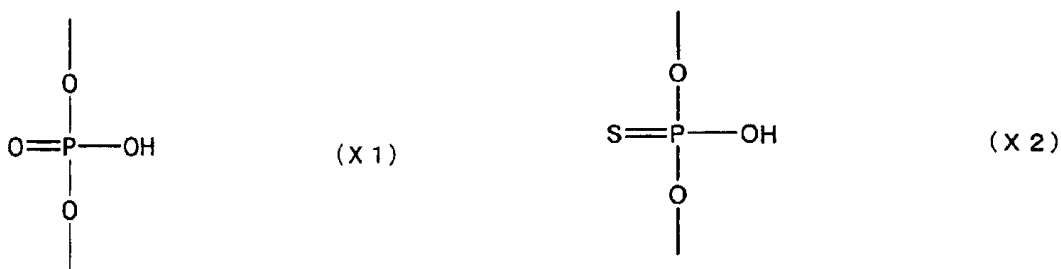
- | | |
|---|--|
| (115a")-CH ₂ CH ₂ OH, | (115b")-Ba-CH ₂ CH ₂ OH, |
| (115c")-Ba-Bt-CH ₂ CH ₂ OH, | (115d")-Ba-Bt-Bg-CH ₂ CH ₂ OH, |
| (115e")-Ba-Bt-Bg-Bg-CH ₂ CH ₂ OH, | (115f")-Ba-Bt-Bg-Bg-Bc-CH ₂ CH ₂ OH, |
| (115g")-Ba-Bt-Bg-Bg-Bc-Ba-CH ₂ CH ₂ OH, | (115h")-Ba-Bt-Bg-Bg-Bc-Ba-Bg-CH ₂ CH ₂ OH, |
| (115i")-Ba-Bt-Bg-Bg-Bc-Ba-Bg-Bt-CH ₂ CH ₂ OH, o | |
| (115j")-Ba-Bt-Bg-Bg-Bc-Ba-Bg-Bt-Bt-CH ₂ CH ₂ OH | |

45 donde Bg es un grupo representado por la siguiente fórmula (G1) o (G2); Ba es un grupo representado por la siguiente fórmula (A1) o (A2); Bc es un grupo representado por la siguiente fórmula (C1) o (C2); y Bt es un grupo representado por la siguiente fórmula (U1) o (T2):





5 donde X es individual e independientemente un grupo representado por la siguiente fórmula (X1) o (X2):



10 Y es individual e independientemente un átomo de hidrógeno, un grupo hidroxilo o un grupo alcoxi con 1-6 átomos de carbono; y

Z es individual e independientemente un enlace sencillo o un grupo alqueno con 1-5 átomos de carbono; con la condición de que al menos uno de los nucleósidos que constituyen el compuesto representado por la fórmula (XV'') tenga un grupo 2'-O,4'-C-alqueno.

15 [2] El compuesto de [1] anterior o una sal farmacológicamente aceptable del mismo, que comprende adicionalmente 2'-O,4'-C-alquilenación de la D-ribofuranosa.

[3] El compuesto de [1] o [2] anterior o una sal farmacológicamente aceptable del mismo, donde al menos al menos uno de los fosfatos que constituye el oligonucleótido está modificado.

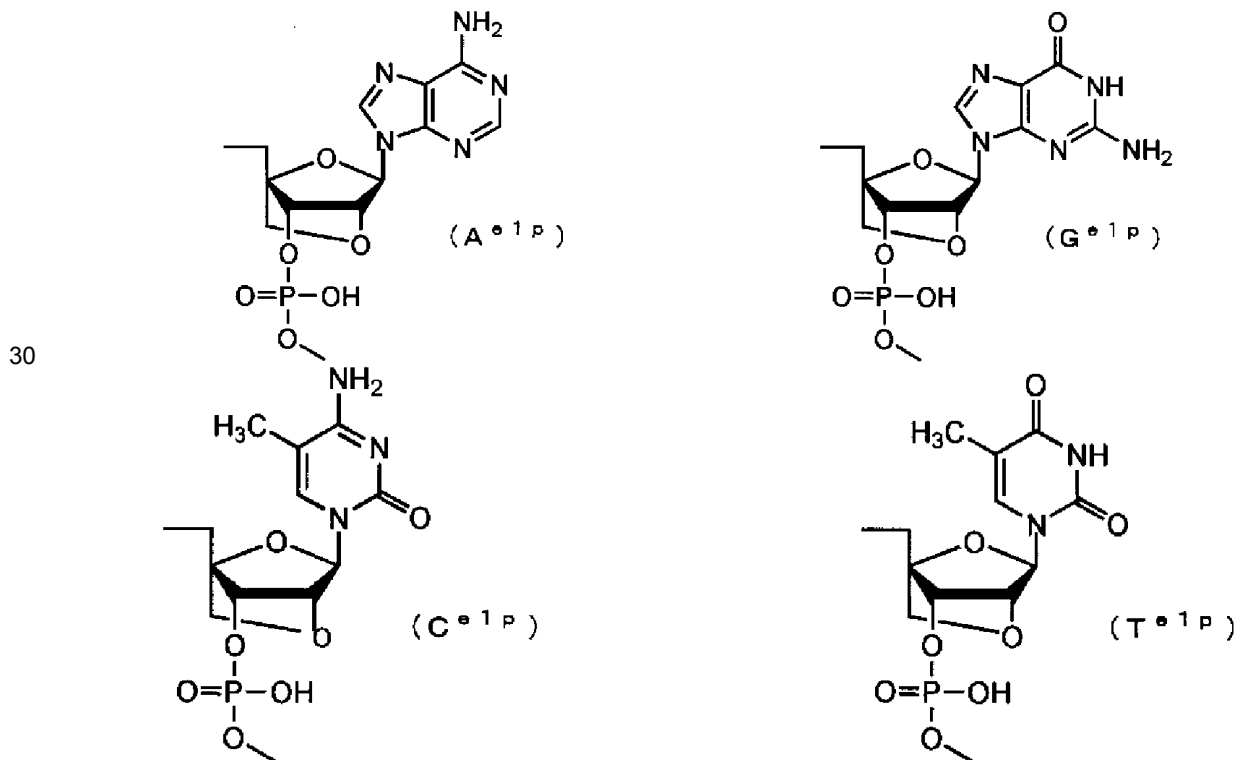
[4] El compuesto de [3] anterior o una sal farmacológicamente aceptable del mismo, donde la modificación del fosfato es tioación del grupo fosfato.

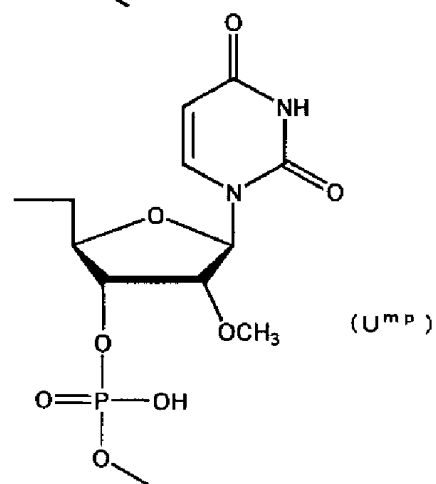
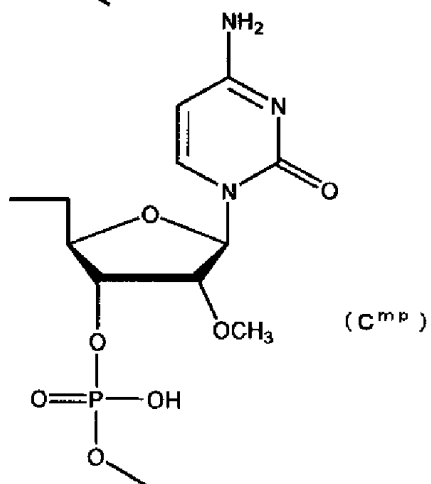
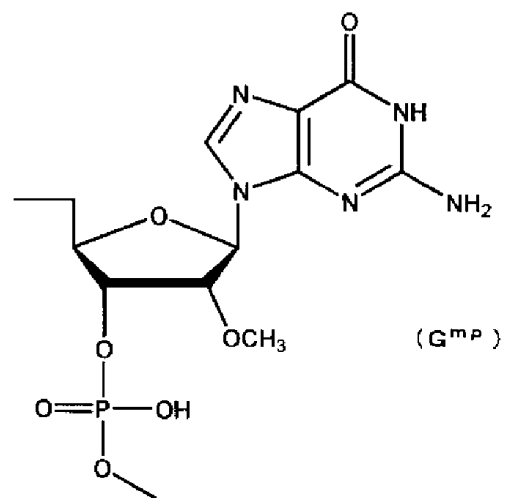
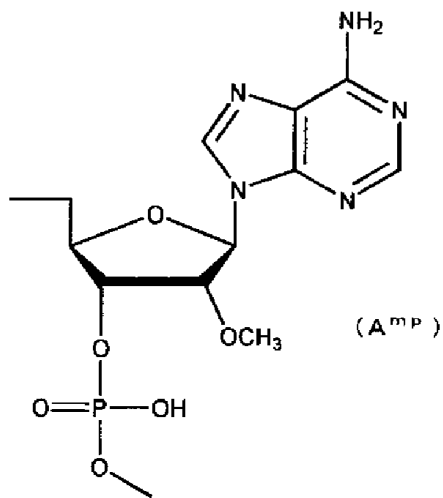
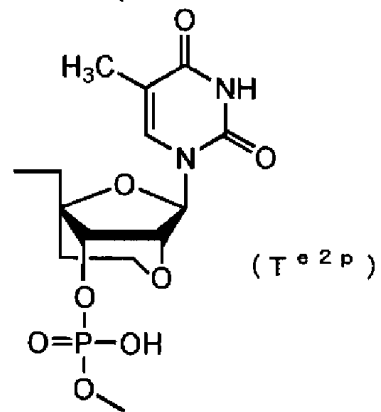
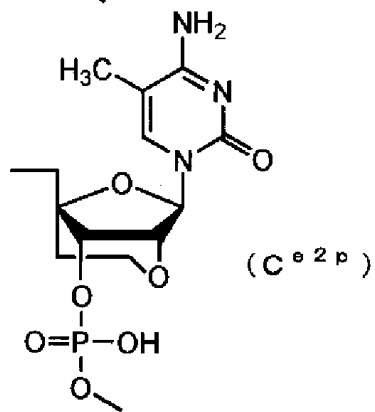
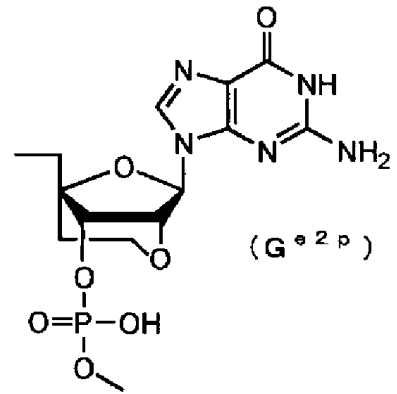
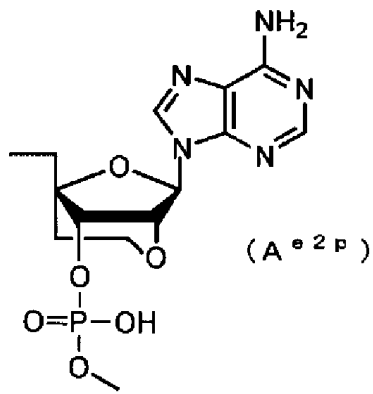
20 [5] El compuesto de [1], [2], [3] o [4] anterior o una sal farmacológicamente aceptable del mismo que está representada por una cualquiera de las fórmulas seleccionadas entre el grupo que consiste en (XV''-1), (XV''-2), (XV''-3), (XV''-4), (XV''-5), (XV''-6), (XV''-7), (XV''-8), (XV''-9), (XV''-10), (XV''-11), (XV''-12), (XV''-13), (XV''-14), (XV''-15), (XV''-16), (XV''-17), (XV''-18), (XV''-19), (XV''-20), (XV''-21), (XV''-22), (XV''-23) y (XV''-24) o una sal farmacológicamente aceptable del mismo:

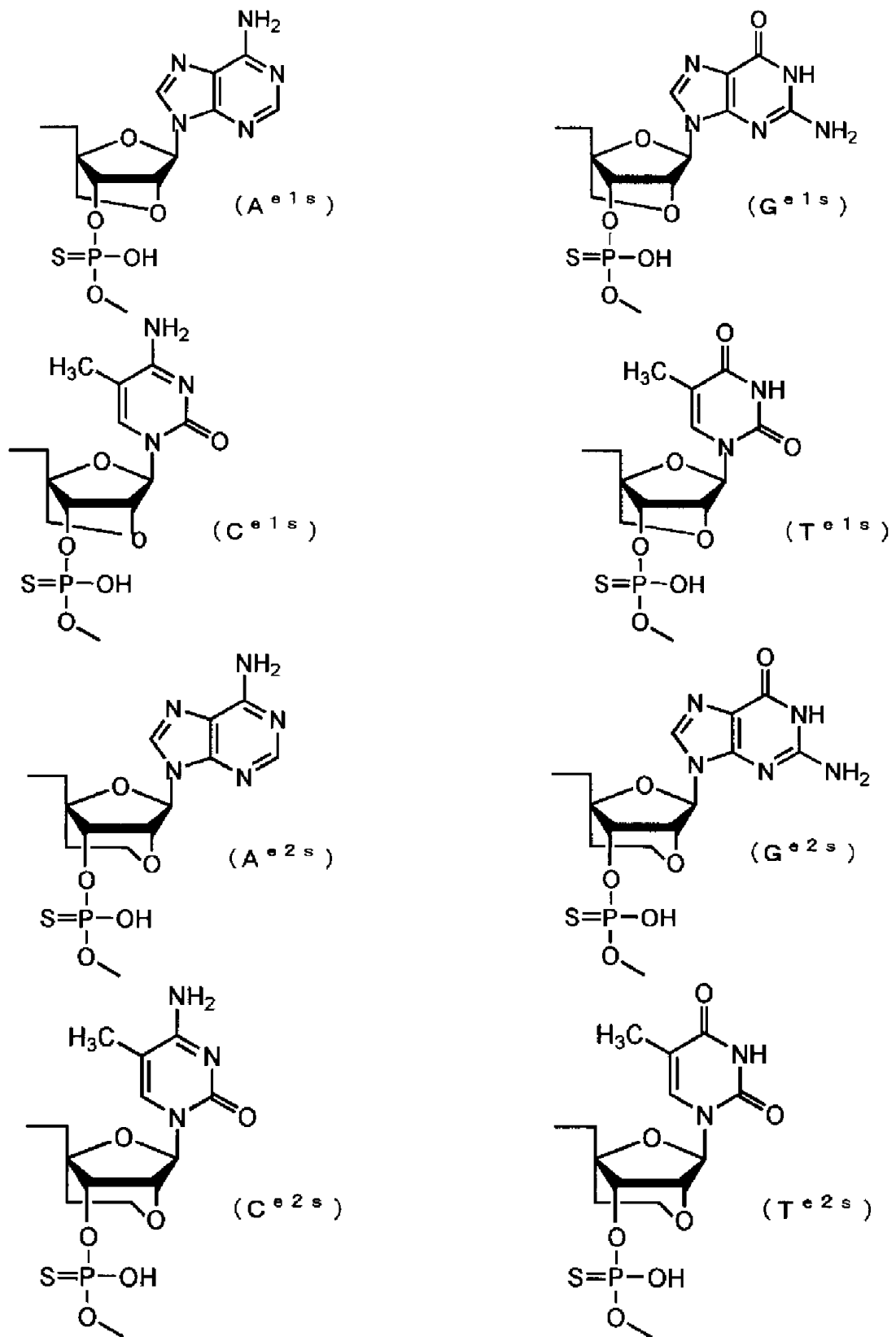
25

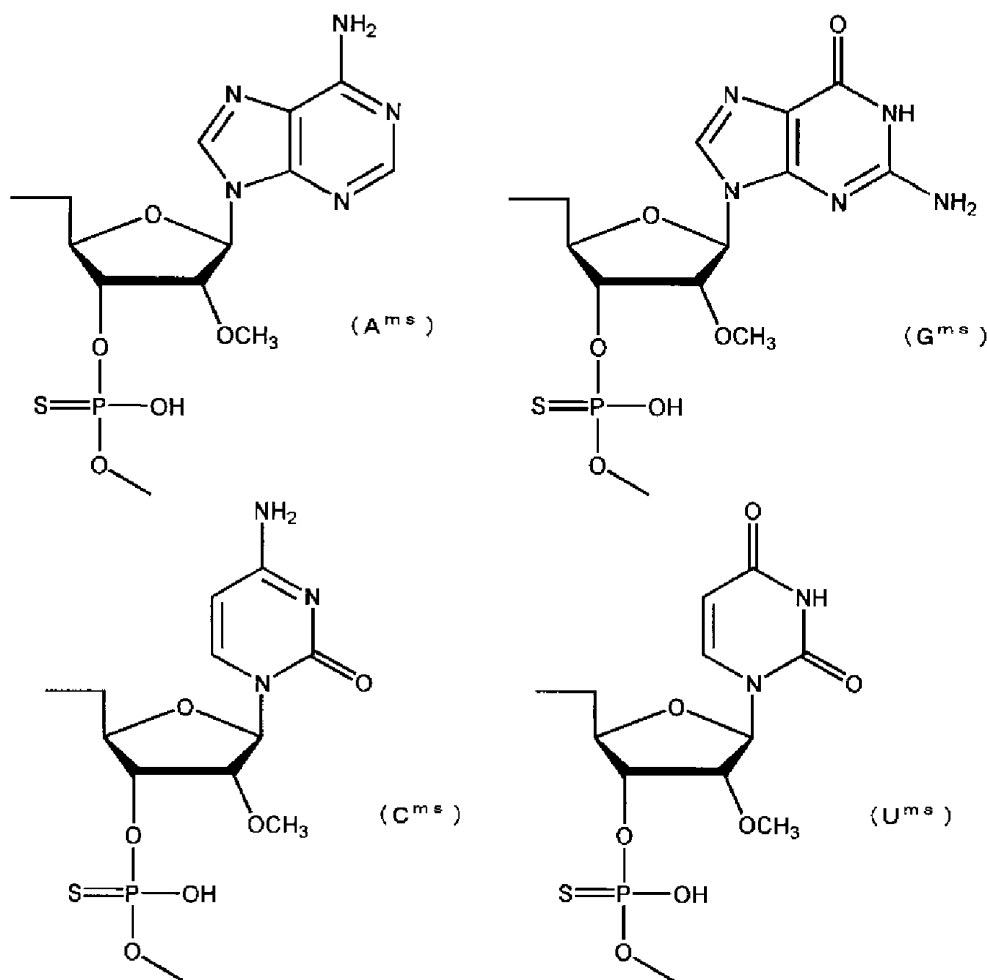
- (XV''-1) HO-G^{e2p}-G^{e2p}-C^{e2p}-A^{e2p}-T^{e2p}-U^{mp}-U^{mp}-C^{mp}-U^{mp}-A^{mp}-G^{mp}-U^{mp}-U^{mp}-T^{e2p}-G^{e2p}-G^{e2p}-A^{e2p}-G^{e2p}-CH₂CH₂OH;
 (XV''-2) HO-A^{e2p}-G^{e2p}-T^{e2p}-T^{e2p}-T^{e2p}-G^{mp}-G^{mp}-A^{mp}-G^{mp}-A^{mp}-U^{mp}-G^{mp}-G^{mp}-C^{e2p}-A^{e2p}-G^{e2p}-T^{e2p}-T^{e2p}-CH₂CH₂OH;
 (XV''-3) HO-G^{mp}-G^{mp}-C^{e2p}-A^{mp}-T^{e2p}-T^{e2p}-U^{mp}-C^{e2p}-T^{e2p}-A^{mp}-G^{mp}-U^{mp}-T^{e2p}-T^{e2p}-G^{mp}-G^{mp}-A^{e2p}-G^{mp}-CH₂CH₂OH;
 (XV⁹⁹-4) HO-A^{e2p}-G^{mp}-T^{e2p}-U^{mp}-T^{e2p}-G^{mp}-G^{mp}-A^{e2p}-G^{mp}-A^{mp}-T^{e2p}-G^{mp}-G^{mp}-C^{e2p}-A^{e2p}-G^{mp}-T^{e2p}-T^{e2p}-CH₂CH₂OH;
 5 (XV''-5) HO-G^{e1p}-G^{e1p}-C^{e1p}-A^{e1p}-T^{e1p}-U^{mp}-U^{mp}-C^{mp}-U^{mp}-A^{mp}-G^{mp}-U^{mp}-U^{mp}-T^{e1p}-G^{e1p}-G^{e1p}-A^{e1p}-G^{e1p}-CH₂CH₂OH;
 (XV''-6) HO-A^{e1p}-G^{e1p}-T^{e1p}-T^{e1p}-T^{e1p}-G^{mp}-G^{mp}-A^{mp}-G^{mp}-A^{mp}-U^{mp}-G^{mp}-G^{mp}-C^{e1p}-A^{e1p}-G^{e1p}-T^{e1p}-T^{e1p}-CH₂CH₂OH;
 (XV''-7) HO-G^{mp}-G^{mp}-C^{e1p}-A^{mp}-T^{e1p}-T^{e1p}-U^{mp}-C^{e1p}-T^{e1p}-A^{mp}-G^{mp}-U^{mp}-T^{e1p}-T^{e1p}-G^{mp}-G^{mp}-A^{e1p}-G^{mp}-CH₂CH₂OH;
 OH;
 (XV''-8) HO-A^{e1p}-G^{mp}-T^{e1p}-U^{mp}-T^{e1p}-G^{mp}-G^{mp}-A^{e1p}-G^{mp}-A^{mp}-T^{e1p}-G^{mp}-G^{mp}-C^{e1p}-A^{e1p}-G^{mp}-T^{e1p}-T^{e1p}-CH₂CH₂OH;
 10 (XV''-9) HO-G^{e2p}-G^{e2p}-C^{e2p}-A^{e2p}-T^{e2p}-U^{ms}-U^{ms}-C^{ms}-U^{ms}-A^{ms}-G^{ms}-U^{ms}-U^{ms}-T^{e2p}-G^{e2p}-G^{e2p}-A^{e2p}-G^{e2p}-CH₂CH₂OH;
 (XV''-10) HO-A^{e2p}-G^{e2p}-T^{e2p}-T^{e2p}-T^{e2p}-G^{ms}-G^{ms}-A^{ms}-G^{ms}-A^{ms}-U^{ms}-G^{ms}-G^{ms}-C^{e2p}-A^{e2p}-G^{e2p}-T^{e2p}-T^{e2p}-CH₂CH₂OH;
 (XV''-11) HO-G^{ms}-G^{ms}-C^{e2p}-A^{ms}-T^{e2p}-T^{e2p}-U^{ms}-C^{e2p}-T^{e2p}-A^{ms}-G^{ms}-U^{ms}-T^{e2p}-T^{e2p}-G^{ms}-G^{ms}-A^{e2p}-G^{ms}-CH₂CH₂OH;
 (XV''-12) HO-A^{e2p}-G^{ms}-T^{e2p}-U^{ms}-T^{e2p}-G^{ms}-G^{ms}-A^{e2p}-G^{ms}-A^{ms}-T^{e2p}-G^{ms}-G^{ms}-C^{e2p}-A^{e2p}-G^{ms}-T^{e2p}-T^{e2p}-CH₂CH₂OH;
 (XV''-13) HO-G^{e1p}-G^{e1p}-C^{e1p}-A^{e1p}-T^{e1p}-U^{ms}-U^{ms}-C^{ms}-U^{ms}-A^{ms}-G^{ms}-U^{ms}-U^{ms}-T^{e1p}-G^{e1p}-G^{e1p}-A^{e1p}-G^{e1p}-CH₂CH₂OH;
 15 (XV''-14) HO-A^{e1p}-G^{e1p}-T^{e1p}-T^{e1p}-T^{e1p}-G^{ms}-G^{ms}-A^{ms}-G^{ms}-A^{ms}-U^{ms}-G^{ms}-G^{ms}-C^{e1p}-A^{e1p}-G^{e1p}-T^{e1p}-T^{e1p}-CH₂CH₂OH;
 (XV''-15) HO-G^{ms}-G^{ms}-C^{e1p}-A^{ms}-T^{e1p}-T^{e1p}-U^{ms}-C^{e1p}-T^{e1p}-A^{ms}-G^{ms}-U^{ms}-T^{e1p}-T^{e1p}-G^{ms}-G^{ms}-A^{e1p}-G^{ms}-CH₂CH₂OH;
 (XV''-16) HO-A^{e1p}-G^{ms}-T^{e1p}-U^{ms}-T^{e1p}-G^{ms}-G^{ms}-A^{e1p}-G^{ms}-A^{ms}-T^{e1p}-G^{ms}-G^{ms}-C^{e1p}-A^{e1p}-G^{ms}-T^{e1p}-T^{e1p}-CH₂CH₂OH;
 (XV''-17) HO-G^{e2s}-G^{e2s}-C^{e2s}-A^{e2s}-T^{e2s}-U^{ms}-U^{ms}-C^{ms}-U^{ms}-A^{ms}-G^{ms}-U^{ms}-U^{ms}-T^{e2s}-G^{e2s}-G^{e2s}-A^{e2s}-G^{e2s}-CH₂CH₂OH;
 (XV''-18) HO-A^{e2s}-G^{e2s}-T^{e2s}-T^{e2s}-T^{e2s}-G^{ms}-G^{ms}-A^{ms}-G^{ms}-A^{ms}-U^{ms}-G^{ms}-G^{ms}-C^{e2s}-A^{e2s}-G^{e2s}-T^{e2s}-T^{e2s}-CH₂CH₂OH;
 20 (XV''-19) HO-G^{ms}-G^{ms}-C^{e2s}-A^{ms}-T^{e2s}-T^{e2s}-U^{ms}-C^{e2s}-T^{e2s}-A^{ms}-G^{ms}-U^{ms}-T^{e2s}-T^{e2s}-G^{ms}-G^{ms}-A^{e2s}-G^{ms}-CH₂CH₂OH;
 (XV''-20) HO-A^{e2s}-G^{ms}-T^{e2s}-U^{ms}-T^{e2s}-G^{ms}-G^{ms}-A^{e2s}-G^{ms}-A^{ms}-T^{e2s}-G^{ms}-G^{ms}-C^{e2s}-A^{e2s}-G^{ms}-T^{e2s}-T^{e2s}-CH₂CH₂OH;
 (XV''-21) HO-G^{e1s}-G^{e1s}-C^{e1s}-A^{e1s}-T^{e1s}-U^{ms}-U^{ms}-C^{ms}-U^{ms}-A^{ms}-G^{ms}-U^{ms}-U^{ms}-T^{e1s}-G^{e1s}-G^{e1s}-A^{e1s}-G^{e1s}-CH₂CH₂OH;
 (XV''-22) HO-A^{e1s}-G^{e1s}-T^{e1s}-T^{e1s}-T^{e1s}-G^{ms}-G^{ms}-A^{ms}-G^{ms}-A^{ms}-U^{ms}-G^{ms}-G^{ms}-C^{e1s}-A^{e1s}-G^{e1s}-T^{e1s}-T^{e1s}-CH₂CH₂OH;
 (XV''-23) HO-G^{ms}-G^{ms}-C^{e1s}-A^{ms}-T^{e1s}-T^{e1s}-U^{ms}-C^{e1s}-T^{e1s}-A^{ms}-G^{ms}-U^{ms}-T^{e1s}-T^{e1s}-G^{ms}-G^{ms}-A^{e1s}-G^{ms}-CH₂CH₂OH;
 25 (XV''-24) HO-A^{e1s}-G^{ms}-T^{e1s}-U^{ms}-T^{e1s}-G^{ms}-G^{ms}-A^{e1s}-G^{ms}-A^{ms}-T^{e1s}-G^{ms}-G^{ms}-C^{e1s}-A^{e1s}-G^{ms}-T^{e1s}-T^{e1s}-CH₂CH₂OH

donde A^{e1p}, G^{e1p}, C^{e1p}, T^{e1p}, A^{e2p}, G^{e2p}, C^{e2p}, T^{e2p}, A^{mp}, G^{mp}, C^{mp}, U^{mp}, A^{e1s}, G^{e1s}, C^{e1s}, T^{e1s}, A^{e2s}, G^{e2s}, C^{e2s}, T^{e2s}, A^{ms}, G^{ms}, C^{ms} y U^{ms} son grupos que tienen las siguientes estructuras, respectivamente:









- 5 [6] El compuesto de [5] anterior, que se selecciona entre los compuestos (XV"-1), (XV"-2), (XV"-3), (XV"-4), (XV"-17), (XV"-18), (XV"-19) y (XV"-20).
- [7] Un agente terapéutico para la distrofia muscular, que comprende el compuesto de uno cualquiera de [1] a [6] anterior o una sal farmacológicamente aceptable del mismo.
- [8] El agente terapéutico de [7] anterior, cuya diana de tratamiento es aquellos pacientes en que la cantidad total de los aminoácidos en la fase de lectura abierta del gen de la distrofina será un múltiplo de 3 cuando el exón 51 del gen de la distrofina se ha saltado.
- 10 [9] Un compuesto de acuerdo con uno cualquiera de [1] a [6] anterior o un agente terapéutico de acuerdo con [7] u [8] anterior para su uso en el tratamiento de la distrofia muscular.
- [10] Uso de un compuesto de acuerdo con uno cualquiera de [1] a [6] anterior en la fabricación de un medicamento para tratar la distrofia muscular.
- 15 [11] Uso de acuerdo con [10] anterior donde la diana de tratamiento es aquellos pacientes en que la cantidad total de los aminoácidos en la fase de lectura abierta del gen de la distrofina será un múltiplo de 3 cuando el exón 51 del gen de la distrofina se ha saltado.
- [12] Un agente terapéutico de acuerdo con [7] u [8], un compuesto o agente terapéutico para su uso de acuerdo con [9] o un uso de acuerdo con [10] u [11] donde dicha distrofia muscular es distrofia muscular de Duchenne.
- 20

El término "oligonucleótido" usado en la presente invención abarca no solamente oligo ADN u oligo ARN, sino también un oligonucleótido en que al menos una D-ribofuranosa que constituye el oligonucleótido está 2'-O-alquilada; un oligonucleótido en que al menos una D-ribofuranosa que constituye el oligonucleótido está 2'-O,4'-C-alquilada; un oligonucleótido en que al menos un fosfato que constituye el oligonucleótido está tioado; o una combinación de los mismos. Dichos oligonucleótidos en que al menos una D-ribofuranosa que constituye el oligonucleótido está 2'-O-alquilada o 2'-O,4'-C-alquilada tiene elevada fuerza de unión a ARN y elevada resistencia a nucleasa. Por tanto, se espera que produzcan mayores efectos terapéuticos que los nucleótidos naturales (es decir oligo ADN u oligo ARN). Además, un oligonucleótido en que al menos un fosfato que constituye el oligonucleótido está tioado también tiene elevada resistencia a nucleasa y, por tanto, se espera que produzca mayor efecto terapéutico que los nucleótidos naturales (es decir oligo ADN u oligo ARN). Un oligonucleótido que comprende tanto el azúcar modificado como el fosfato modificado como se ha descrito anteriormente aún tiene mayor resistencia a nucleasa y, por tanto, se espera que produzca aún mayor efecto terapéutico.

25

30

Con respecto al oligonucleótido de la presente invención, ejemplos de la modificación del azúcar incluyen, aunque sin limitación, 2'-O-alkilación (por ejemplo, 2'-O-metilación, 2'-O-aminoetilación, 2'-O-propilación, 2'-O-alilación, 2'-O-metoxietilación, 2'-O-butilación, 2'-O-pentilación, o 2'-O-propargilación) de D-ribofuranosa; 2'-O,4'-C-alkilación (por ejemplo, 2'-O,4'-C-etilación, 2'-O,4'-C-metilación, 2'-O,4'-C-propilación, 2'-O,4'-C-tetrametilación o 2'-O,4'-C-pentametilación) de D-ribofuranosa; 3'-desoxi-3'-amino-2'-desoxi-D-ribofuranosa; y 3'-desoxi-3'-amino-2'-desoxi-2'-fluoro-D-ribofuranosa.

Con respecto al oligonucleótido de la presente invención, ejemplos de la modificación del fosfato incluyen, aunque sin limitación, fosforotioato, metilfosfonato, metiltiofosfonato, fosforoditioato y fosforoamidato.

Con respecto a Y en las fórmulas (G1), (A1), (C1) y (U1), ejemplos del grupo alcoxi con 1-6 átomos de carbono incluyen, aunque sin limitación, grupo metoxi, grupo aminoetoxi, grupo propoxi, grupo aliloxi, grupo metoxietoxi, grupo butoxi, grupo pentiloxi y grupo propargiloxi.

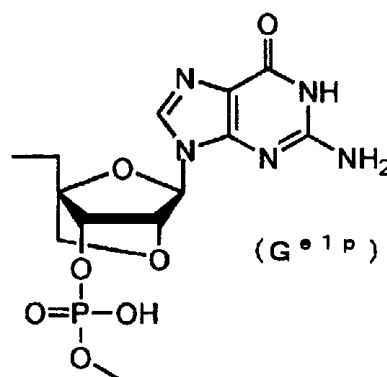
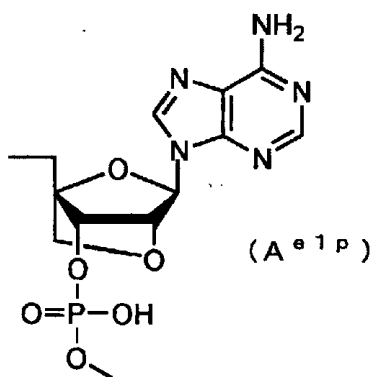
Con respecto a Z en las fórmulas (G2), (A2), (C2) y (T2), ejemplos del grupo alquileo con 1-5 átomos de carbono incluyen, aunque sin limitación, grupo metileno, grupo etileno, grupo propileno, grupo tetrametileno y grupo pentametileno.

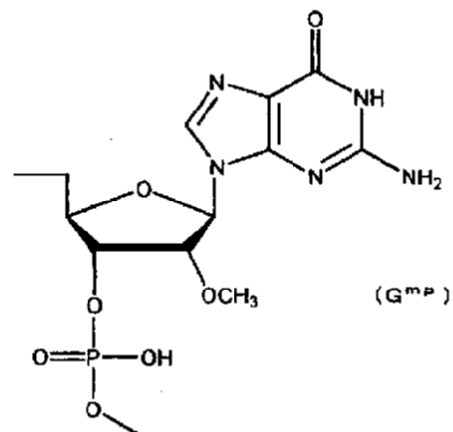
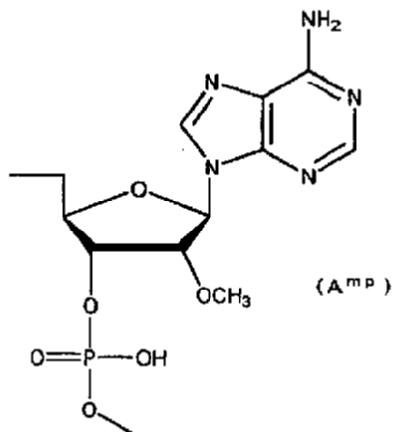
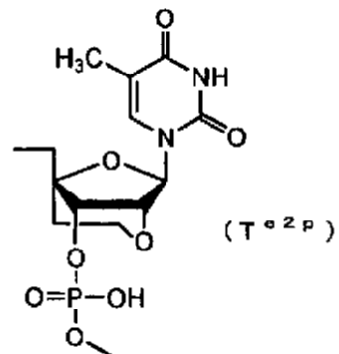
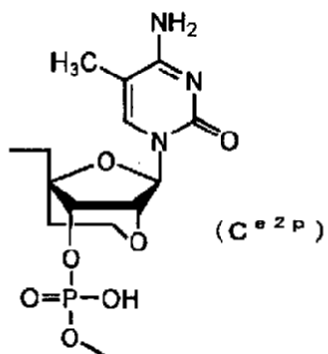
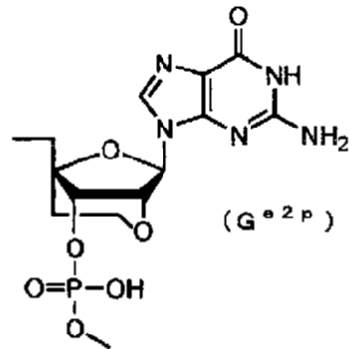
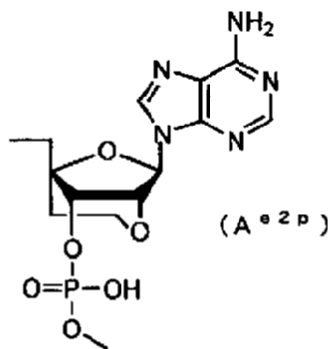
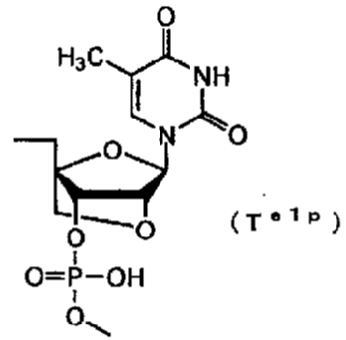
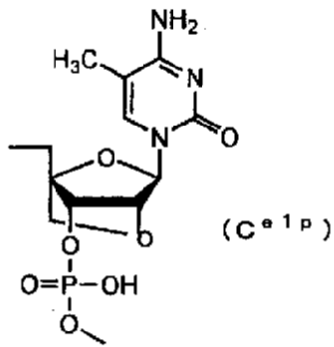
Los ejemplos preferidos del compuesto representado por la fórmula general (XV") incluyen los siguientes compuestos.

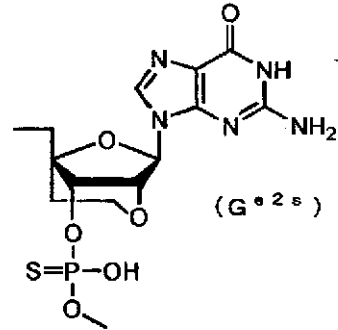
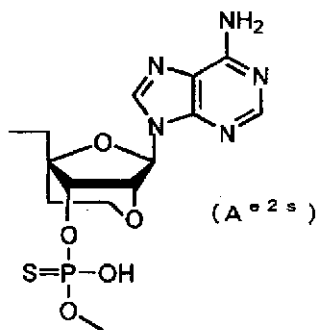
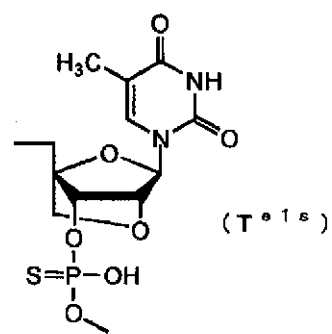
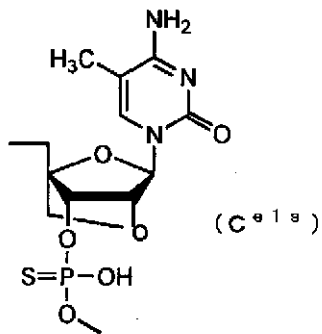
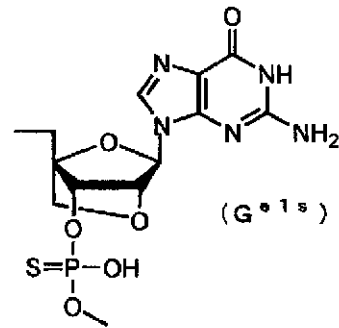
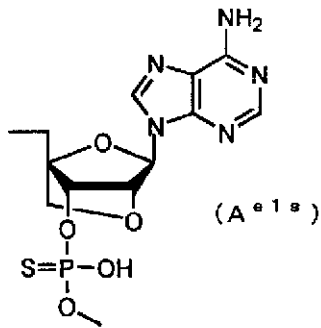
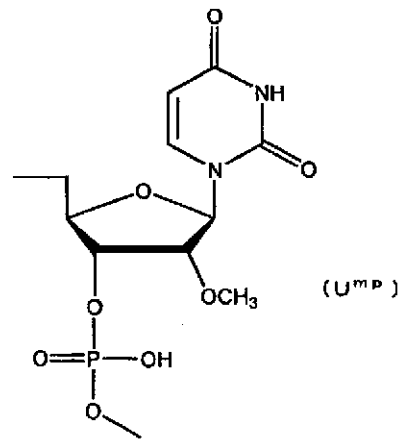
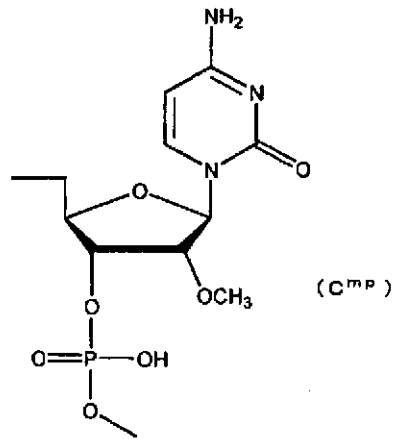
- (XV"-1) HO-G^{e2p}-G^{e2p}-C^{e2p}-A^{e2p}-T^{e2p}-U^{mp}-U^{mp}-C^{mp}-U^{mp}-A^{mp}-G^{mp}-U^{mp}-U^{mp}-T^{e2p}-G^{e2p}-G^{e2p}-A^{e2p}-G^{e2p}-CH₂CH₂OH;
- (XV"-2) HO-A^{e2p}-G^{e2p}-T^{e2p}-T^{e2p}-T^{e2p}-G^{mp}-G^{mp}-A^{mp}-G^{mp}-A^{mp}-U^{mp}-G^{mp}-G^{mp}-C^{e2p}-A^{e2p}-G^{e2p}-T^{e2p}-T^{e2p}-CH₂CH₂OH;
- (XV"-3) HO-G^{mp}-G^{mp}-C^{e2p}-A^{mp}-T^{e2p}-T^{e2p}-U^{mp}-C^{e2p}-T^{e2p}-A^{mp}-G^{mp}-U^{mp}-T^{e2p}-T^{e2p}-G^{mp}-G^{mp}-A^{e2p}-G^{mp}-CH₂CH₂OH;
- (XV"-4) HO-A^{e2p}-G^{mp}-T^{e2p}-U^{mp}-T^{e2p}-G^{mp}-G^{mp}-A^{e2p}-G^{mp}-A^{mp}-T^{e2p}-G^{mp}-G^{mp}-C^{e2p}-A^{e2p}-G^{mp}-T^{e2p}-T^{e2p}-CH₂CH₂OH;
- (XV"-5) HO-G^{e1p}-G^{e1p}-C^{e1p}-A^{e1p}-T^{e1p}-U^{mp}-C^{mp}-U^{mp}-A^{mp}-G^{mp}-U^{mp}-U^{mp}-T^{e1p}-G^{e1p}-G^{e1p}-A^{e1p}-G^{e1p}-CH₂CH₂OH;
- (XV"-6) HO-A^{e1p}-G^{e1p}-T^{e1p}-T^{e1p}-T^{e1p}-G^{mp}-G^{mp}-A^{mp}-G^{mp}-A^{mp}-U^{mp}-G^{mp}-G^{mp}-C^{e1p}-A^{e1p}-G^{e1p}-T^{e1p}-T^{e1p}-CH₂CH₂OH;
- (XV"-7) HO-G^{mp}-G^{mp}-C^{e1p}-A^{mp}-T^{e1p}-T^{e1p}-U^{mp}-C^{e1p}-T^{e1p}-A^{mp}-G^{mp}-U^{mp}-T^{e1p}-T^{e1p}-G^{mp}-G^{mp}-A^{e1p}-G^{mp}-CH₂CH₂OH;
- (XV"-8) HO-A^{e1p}-G^{mp}-T^{e1p}-U^{mp}-T^{e1p}-G^{mp}-G^{mp}-A^{e1p}-G^{mp}-A^{mp}-T^{e1p}-G^{mp}-G^{mp}-C^{e1p}-A^{e1p}-G^{mp}-T^{e1p}-T^{e1p}-CH₂CH₂OH;
- (XV"-9) HO-G^{e2p}-G^{e2p}-C^{e2p}-A^{e2p}-T^{e2p}-U^{ms}-U^{ms}-C^{ms}-U^{ms}-A^{ms}-G^{ms}-U^{ms}-U^{ms}-T^{e2p}-G^{e2p}-G^{e2p}-A^{e2p}-G^{e2p}-CH₂CH₂OH;
- (XV"-10) HO-A^{e2p}-G^{e2p}-T^{e2p}-T^{e2p}-T^{e2p}-G^{ms}-G^{ms}-A^{ms}-G^{ms}-A^{ms}-U^{ms}-G^{ms}-G^{ms}-C^{e2p}-A^{e2p}-G^{e2p}-T^{e2p}-T^{e2p}-CH₂CH₂OH;
- (XV"-11) HO-G^{ms}-G^{ms}-C^{e2p}-A^{ms}-T^{e2p}-T^{e2p}-U^{ms}-C^{e2p}-T^{e2p}-A^{ms}-G^{ms}-U^{ms}-T^{e2p}-T^{e2p}-G^{ms}-G^{ms}-A^{e2p}-G^{ms}-CH₂CH₂OH;
- (XV"-12) HO-A^{e2p}-G^{ms}-T^{e2p}-U^{ms}-T^{e2p}-G^{ms}-G^{ms}-A^{e2p}-G^{ms}-A^{ms}-T^{e2p}-G^{ms}-G^{ms}-C^{e2p}-A^{e2p}-G^{ms}-T^{e2p}-T^{e2p}-CH₂CH₂OH;
- (XV"-13) HO-G^{e1p}-G^{e1p}-C^{e1p}-A^{e1p}-L^{e1p}-U^{ms}-U^{ms}-C^{ms}-U^{ms}-A^{ms}-G^{ms}-U^{ms}-U^{ms}-T^{e1p}-G^{e1p}-G^{e1p}-A^{e1p}-G^{e1p}-CH₂CH₂OH;
- (XV"-14) HO-A^{e1p}-G^{e1p}-T^{e1p}-T^{e1p}-T^{e1p}-G^{ms}-G^{ms}-A^{ms}-G^{ms}-A^{ms}-U^{ms}-G^{ms}-G^{ms}-C^{e1p}-A^{e1p}-G^{e1p}-T^{e1p}-T^{e1p}-CH₂CH₂OH;
- (XV"-15) HO-G^{ms}-G^{ms}-C^{e1p}-A^{ms}-T^{e1p}-T^{e1p}-U^{ms}-C^{e1p}-T^{e1p}-A^{ms}-G^{ms}-U^{ms}-T^{e1p}-T^{e1p}-G^{ms}-G^{ms}-A^{e1p}-G^{ms}-CH₂CH₂OH;
- (XV"-16) HO-A^{e1p}-G^{ms}-T^{e1p}-U^{ms}-T^{e1p}-G^{ms}-G^{ms}-A^{e1p}-G^{ms}-A^{ms}-T^{e1p}-G^{ms}-G^{ms}-C^{e1p}-A^{e1p}-G^{ms}-T^{e1p}-T^{e1p}-CH₂CH₂OH;
- (XV"-17) HO-G^{e2s}-G^{e2s}-C^{e2s}-A^{e2s}-T^{e2s}-U^{ms}-U^{ms}-C^{ms}-U^{ms}-A^{ms}-G^{ms}-U^{ms}-U^{ms}-T^{e2s}-G^{e2s}-G^{e2s}-A^{e2s}-G^{e2s}-CH₂CH₂OH;
- (XV"-18) HO-A^{e2s}-G^{e2s}-T^{e2s}-T^{e2s}-T^{e2s}-G^{ms}-G^{ms}-A^{ms}-G^{ms}-A^{ms}-U^{ms}-G^{ms}-G^{ms}-C^{e2s}-A^{e2s}-G^{e2s}-T^{e2s}-T^{e2s}-CH₂CH₂OH;
- (XV"-19) HO-G^{ms}-G^{ms}-C^{e2s}-A^{ms}-T^{e2s}-T^{e2s}-U^{ms}-C^{e2s}-T^{e3s}-A^{ms}-G^{ms}-U^{ms}-T^{e2s}-T^{e3s}-G^{ms}-G^{ms}-A^{e2s}-G^{ms}-CH₂CH₂OH;
- (XV"-20) HO-A^{e2s}-G^{ms}-T^{e2s}-U^{ms}-T^{e2s}-G^{ms}-G^{ms}-A^{e2s}-G^{ms}-A^{ms}-T^{e2s}-G^{ms}-G^{ms}-C^{e2s}-A^{e2s}-G^{ms}-T^{e2s}-T^{e2s}-CH₂CH₂OH;
- (XV"-21) HO-G^{e1s}-G^{e1s}-C^{e1s}-A^{e1s}-L^{e1s}-U^{ms}-U^{ms}-C^{ms}-U^{ms}-A^{ms}-G^{ms}-U^{ms}-U^{ms}-T^{e1s}-G^{e1s}-G^{e1s}-A^{e1s}-G^{e1s}-CH₂CH₂OH;
- (XV"-22) HO-A^{e1s}-G^{e1s}-T^{e1s}-T^{e1s}-T^{e1s}-G^{ms}-G^{ms}-A^{ms}-G^{ms}-A^{ms}-U^{ms}-G^{ms}-G^{ms}-C^{e1s}-A^{e1s}-G^{ms}-T^{e1s}-T^{e1s}-CH₂CH₂OH;
- (XV"-23) HO-G^{ms}-G^{ms}-C^{e1s}-A^{ms}-T^{e1s}-T^{e1s}-U^{ms}-C^{e1s}-T^{e1s}-A^{ms}-G^{ms}-U^{ms}-T^{e1s}-T^{e1s}-G^{ms}-G^{ms}-A^{e1s}-G^{ms}-CH₂CH₂OH;
- (XV"-24) HO-A^{e1s}-G^{ms}-T^{e1s}-U^{ms}-T^{e1s}-G^{ms}-G^{ms}-A^{e1s}-G^{ms}-A^{ms}-T^{e1s}-G^{ms}-G^{ms}-C^{e1s}-A^{e1s}-G^{ms}-T^{e1s}-T^{e1s}-CH₂CH₂OH

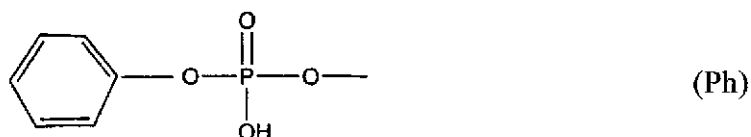
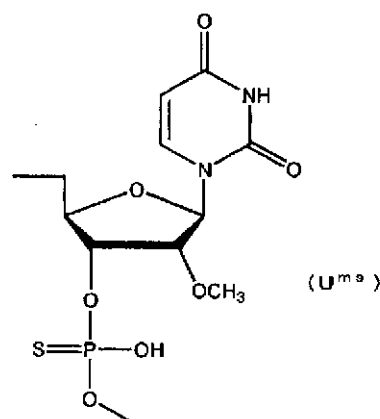
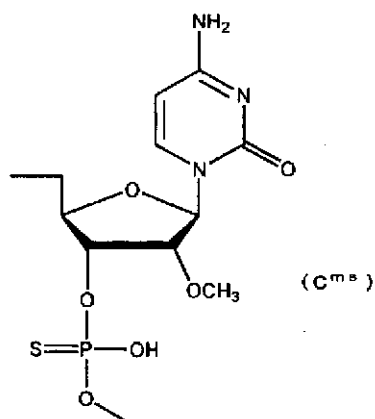
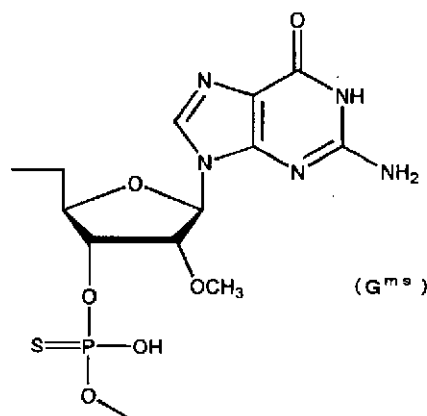
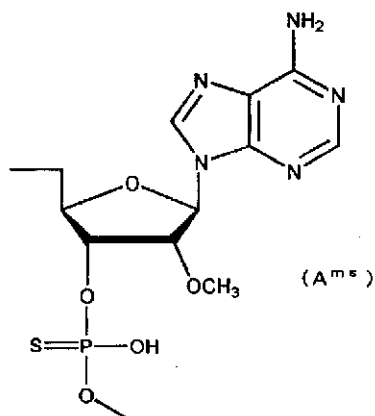
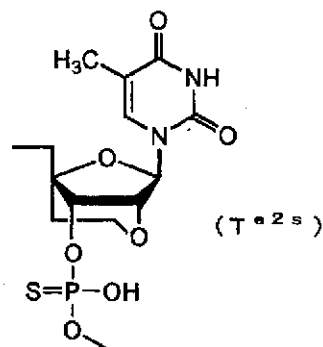
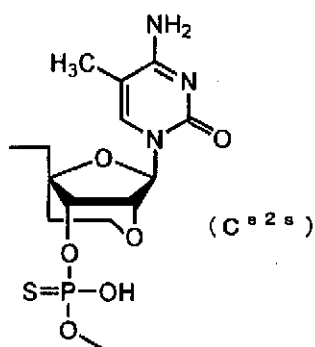
Son especialmente preferidos (XV"-1), (XV"-2), (XV"-3), (XV"-4), (XV"-17), (XV"-18), (XV"-19) y (XV"-20).

En la presente memoria descriptiva, A^{e1p}, G^{e1p}, C^{e1p}, T^{e1p}, A^{e2p}, G^{e2p}, C^{e2p}, T^{e2p}, A^{mp}, G^{mp}, C^{mp}, U^{mp}, A^{e1s}, G^{e1s}, C^{e1s}, T^{e1s}, A^{e2s}, G^{e2s}, C^{e2s}, T^{e2s}, A^{ms}, G^{ms}, C^{ms}, U^{ms} y Ph son grupos que tienen las siguientes estructuras, respectivamente.









La expresión "sal farmacológicamente aceptable del mismo" usada en la presente memoria descriptiva se refiere a sales del oligonucleótido de la invención (por ejemplo, oligonucleótido que tiene la secuencia de nucleótidos mostrada en una cualquiera de las SEC ID N.º 64, 66, 87 u 88) o sales de aquellos compuestos representados por la fórmula general (XV"). Los ejemplos de dichas sales incluyen sales de metales tales como sales de metales alcalinos (por ejemplo, sales de sodio, sales de potasio, sales de litio), sales de metales alcalino-térreos (por ejemplo, sales de calcio, sales de magnesio), sales de aluminio, sales de hierro, sales de cinc, sales de cobre, sales de níquel, sales de cobalto y similares; sales amina tales como sales inorgánicas (por ejemplo, sales de amonio), sales orgánicas [por ejemplo sales de t-octilamina, sales de dibencilamina, sales de morfolina, sales de glucosamina, sales de fenilglicina alquil éster, sales de etilendiamina, sales de N-metilglucamina, sales de guanidina, sales de dietilamina, sales de trietilamina, sales de dicitlohexilamina; sales de N',N'-dibenciletilendiamina, sales de

cloroprocaína, sales de procaína, sales de dietanolamina, sales de N-bencil-fenetilamina, sales de piperazina, sales de tetrametilamonio, sales de tris(hidroximetil)aminometano] y similares; sales de ácidos inorgánicos tales como sales de hidroácidos halogenados (por ejemplo, fluorhidratos, clorhidratos, bromhidratos, yodhidratos), nitratos, percloratos, sulfatos, fosfatos y similares; sales de ácidos orgánicos tales como sulfonatos de alcano inferior (por ejemplo, metanosulfonatos, trifluorometanosulfonatos, etanosulfonatos), aril sulfonatos (por ejemplo, bencenosulfonatos, p-toluenosulfonatos), acetatos, malatos, fumaratos, succinatos, citratos, tartratos, oxalatos, maleatos y similares; y sales de aminoácidos (por ejemplo, sales de glicina, sales de lisina, sales de arginina, sales de ornitina, glutamatos, aspartatos). Estas sales pueden prepararse de acuerdo con métodos conocidos.

10 Debe apreciarse que los compuestos representados por la fórmula general (XV") pueden existir como hidratos y que dichos hidratos también se incluyen en la presente invención.

15 El oligonucleótido de la invención, los compuestos representados por la fórmula general (XV") (a partir de ahora en este documento, mencionados como el "compuesto de la invención") y sales farmacológicamente aceptables de los mismos son eficaces como agentes farmacéuticos para tratar la distrofia muscular.

20 El compuesto de la invención puede sintetizarse en base al método descrito en la bibliografía (Nucleic Acids Research, 12: 4539 (1984)) usando un sintetizador comercial (por ejemplo, PerkinElmer Modelo 392 que emplea el método de fosforoamidita). En cuanto a los reactivos de fosforoamidita usados en la síntesis, están disponibles reactivos comerciales para nucleósidos naturales y 2'-O-metilnucleósidos (es decir 2'-O-metilguanosina, 2'-O-metiladenosina, 2'-O-metilcitosina y 2'-O-metiluridina). En cuanto a 2'-O-alquil-guanosina, -adenosina, -citosina y -uridina donde el grupo alquilo tiene 2-6 átomos de carbono, pueden sintetizarse o adquirirse como se describe a continuación.

25 2'-O-aminetil-guanosina, -adenosina, -citosina y -uridina pueden sintetizarse de acuerdo con Blommers *et al.*, Biochemistry (1998), 37: 17714-17725.

30 2'-O-propil-guanosina, -adenosina, -citosina y -uridina pueden sintetizarse de acuerdo con Lesnik, E.A. *et al.*, Biochemistry (1993), 32: 7832-7838.

2'-O-alil-guanosina, -adenosina, -citosina y -uridina están disponibles en el mercado.

35 2'-O-metoxietil-guanosina, -adenosina, -citosina y -uridina pueden sintetizarse de acuerdo con la patente de Estados Unidos N.º 6261840 o Martin, P., Helv. Chim. Acta. (1995) 78: 486-504.

2'-O-butil-guanosina, -adenosina, -citosina y -uridina pueden sintetizarse de acuerdo con Lesnik, E.A. *et al.*, Biochemistry (1993), 32: 7832-7838.

40 2'-O-pentil-guanosina, -adenosina, -citosina y -uridina pueden sintetizarse de acuerdo con Lesnik, E.A. *et al.*, Biochemistry (1993), 32: 7832-7838.

2'-O-propargil-guanosina, -adenosina, -citosina y -uridina están disponibles en el mercado.

45 2'-O,4'-C-metileno-guanosina, -adenosina, 5-metil-citosina y -timidina pueden sintetizarse de acuerdo con el método descrito en el documento WO99/14226. 2'-O,4'-C-alquileo-guanosina y -adenosina donde el grupo alquileo tiene 2-5 átomos de carbono, 5-metil-citosina y -timidina pueden sintetizarse de acuerdo con el método descrito en el documento WO00/47599.

50 En la tioación de grupos fosfato, los derivados tioato pueden obtenerse en base a los métodos descritos en Tetrahedron Letters, 32, 3005 (1991) y J. Am. Chem. Soc., 112, 1253 (1990), usando azufre y un reactivo tal como disulfuro de tetraetiltiuram (TETD; Applied Biosystems) o reactivo de Beaucage (Glen Research) que reacciona con un fosfato trivalente para formar un tioato.

55 Con respecto al vidrio de poro controlado (DPG) usado en el sintetizador, el uso de un CPG modificado (descrito en el Ejemplo 12b de la publicación de patente japonesa no examinada N.º H7-87982) permite la síntesis de oligonucleótidos a los cuales se ha unido un grupo 2-hidroxietilfosfato en el extremo 3'. Además, el uso del modificador 3'-amino C3 CPG, modificador 3'-amino C7 CPG, Gliceril CPG (Glen Research), 3'-specer C3 SynBase CPG 1000 o 3'-specer C9 SynBase CPG 1000 (Link Technologies) permite la síntesis de oligonucleótidos a los cuales se ha unido un grupo hidroxialquilfosfato o grupo aminoalquilfosfato al extremo 3'.

60 Los compuestos de la presente invención y sales farmacológicamente aceptables de los mismos tienen un efecto de inducir el salto del exón 51 del gen de la distrofina. Los compuestos de la invención representados por la fórmula general (XV") y sales farmacológicamente aceptables de los mismos tienen elevada fuerza de unión a ARN y elevada resistencia a nucleasa. Por lo tanto, los compuestos de la invención y sales farmacológicamente aceptables de los mismos son útiles como agentes farmacéuticos para tratar la distrofia muscular.

Quando el compuesto de la invención o una sal farmacológicamente aceptable del mismo se usa como agente terapéutico para la distrofia muscular, el compuesto o una sal farmacológicamente aceptable o éster del mismo puede administrarse por sí mismo. Como alternativa, el compuesto o una sal farmacológicamente aceptable o éster del mismo puede mezclarse con excipientes o diluyentes farmacológicamente aceptables apropiados, preparados en comprimidos, cápsulas, gránulos, polvos, jarabes, etc. y administrarse por vía oral; o prepararse en inyecciones, supositorios, parches, medicinas externas, etc. y administrarse por vía parenteral.

Estas formulaciones pueden prepararse por métodos bien conocidos usando aditivos tales como excipientes [excipientes orgánicos por ejemplo derivados de azúcar (tales como lactosa, azúcar blanco, glucosa, manitol y sorbitol), derivados de almidón (tal como almidón de maíz, almidón de patata, almidón α y dextrina), derivados de celulosa (tales como celulosa cristalina), goma arábiga, dextrano, pululano y similares; y excipientes inorgánicos por ejemplo derivados de silicato (tales como anhídrido de ácido silícico ligero, silicato de aluminio sintético, silicato de calcio y aluminato metasilicato de magnesio), fosfatos (tales como hidrogenofosfato de calcio), carbonatos (tales como carbonato de calcio), sulfatos (tales como sulfato de calcio) y similares], lubricantes (por ejemplo, sales metálicas de ácido esteárico tal como ácido esteárico, estearato de calcio y estearato de magnesio; talco; sílice coloidal; ceras tales como cera de abejas y espermaceti; ácido bórico; ácido adípico; sulfatos tales como sulfato sódico; glicol; ácido fumárico; benzoato sódico; DL leucina; lauril sulfatos tales como lauril sulfato sódico y lauril sulfato de magnesio; materiales de ácido silícico tales como anhídrido de ácido silícico y ácido silícico hidratado; derivados de almidón mencionados anteriormente), aglutinantes (por ejemplo, hidroxipropilcelulosa, hidroxipropilmetilcelulosa, polivinilpirrolidona, macrogol, compuestos enumerados anteriormente como excipientes), disgregantes (por ejemplo, derivados de celulosa tales como hidroxipropilcelulosa de baja sustitución, carboximetilcelulosa, carboximetilcelulosa de calcio, carboximetilcelulosa sódica reticulada de forma interna; almidones/celulosas modificadas químicamente tales como carboximetil almidón, carboximetil almidón sódico, polivinilpirrolidona reticulada), emulsionantes (por ejemplo, arcilla coloidal tal como bentonita, Veegum; hidróxidos metálicos tales como hidróxido de magnesio, hidróxido de aluminio; tensioactivos aniónicos tales como lauril sulfato sódico, estearato de calcio; tensioactivos catiónicos tales como cloruro de benzalconio; tensioactivos no iónicos tales como polioxietilen alquil éteres, ésteres de ácido graso de polioxietilen sorbitán, éster de ácido graso de sacarosa), estabilizantes (por ejemplo, ésteres de ácido paraoxibenzoico tales como metil parabeno, propil parabeno; alcoholes tales como clorobutanol, alcohol bencílico, feniletil alcohol; cloruro de benzalconio; fenoles tales como fenol, cresol; timerosal; ácido deshidroacético; ácido sórbico), agentes aromatizantes/aromáticos (por ejemplo, edulcorantes usados de forma convencional, acidificantes, aromáticos, etc.) o diluyentes.

El agente terapéutico de la presente invención comprende preferiblemente 0,05-5 $\mu\text{mol/ml}$ del compuesto de la invención o una sal farmacológicamente aceptable del mismo, el 0,02-10 % p/v de carbohidratos o alcoholes polihídricos, y el 0,01-0,4 % p/v de tensioactivos farmacológicamente aceptables. Un intervalo más preferible para el contenido del compuesto de la invención o una sal farmacológicamente aceptable del mismo es 0,1-1 $\mu\text{mol/ml}$.

Para los carbohidratos anteriores, los monosacáridos y/o disacáridos son especialmente preferibles. Ejemplos de estos carbohidratos y alcoholes polihídricos incluyen, aunque sin limitación, glucosa, galactosa, manosa, lactosa, maltosa, manitol y sorbitol. Éstos pueden usarse solos o en combinación.

Ejemplos preferibles de tensioactivos incluyen, aunque sin limitación, mono- a tri-ésteres de polioxietilen sorbitán, alquil fenil polioxietileno, taurocolato sódico, colato sódico y ésteres de alcoholes polihídricos. Son especialmente preferibles mono- a tri-ésteres de polioxietilen sorbitán, donde son ésteres especialmente preferibles oleatos, lauratos, estearatos y palmitatos. Estos tensioactivos pueden usarse solos o en combinación.

Más preferiblemente, el agente terapéutico de la invención comprende 0,03-0,09 M de sal neutra farmacológicamente aceptable, por ejemplo cloruro sódico, cloruro de potasio y/o cloruro de calcio.

Aún más preferiblemente, el agente terapéutico de la invención puede comprender 0,002-0,05 M de tampón farmacológicamente aceptable. Ejemplos de tampones preferibles incluyen citrato sódico, glicinato sódico, fosfato sódico y tris(hidroximetil)aminometano. Estos tampones pueden usarse solos o en combinación.

El agente terapéutico descrito anteriormente de la invención puede suministrarse en estado de solución. Sin embargo, considerando el almacenamiento del agente terapéutico durante algún periodo de tiempo, habitualmente, es preferible liofilizar el agente terapéutico con el fin de estabilizar el oligonucleótido antisentido y evitar de este modo la disminución de su efecto terapéutico. El agente terapéutico liofilizado puede reconstruirse con un líquido disolvente (por ejemplo, agua destilada para inyección) en el momento de uso, y usarse en estado de solución. Por tanto, el agente terapéutico de la invención abarca dicho agente terapéutico liofilizado a reconstruirse con un líquido disolvente en el momento de uso de modo que los componentes individuales estén bajo intervalos de concentración específicos. Para potenciar la solubilidad del producto liofilizado, el agente terapéutico puede contener adicionalmente albúmina o aminoácidos tales como glicina.

Quando el compuesto de la invención o una sal farmacológicamente aceptable del mismo se administra a seres humanos, por ejemplo, el compuesto o sal puede administrarse por vía oral o intravenosa a una dosis de aproximadamente 0,1-100 mg/kg de peso corporal por día, preferiblemente 1-50 mg/kg de peso corporal por día

para pacientes adultos una vez al día o dividido en varias porciones. La dosis y la cantidad de veces de administración pueden cambiarse apropiadamente dependiendo del tipo de enfermedad, condiciones, la edad del paciente, la vía de administración, etc.

- 5 La administración del compuesto de la invención o una sal farmacológicamente aceptable del mismo a pacientes con DMD puede realizarse, por ejemplo, como se describe a continuación. En resumen, el compuesto de la invención o una sal farmacológicamente aceptable del mismo puede prepararse por métodos bien conocidos para los especialistas en la técnica, esterilizarse por métodos convencionales y después formularse en, por ejemplo, una solución de inyección con una concentración de 1200 µg/ml. Esta solución se suministra por goteo, por ejemplo, al paciente de forma intravenosa en forma de infusión de modo que el oligonucleótido antisentido se administra al paciente a una dosis de, por ejemplo, 20 mg/kg de peso corporal. Dicha administración puede repetirse, por ejemplo, 4 veces a intervalos de 2 semanas. Entonces, mientras se confirma el efecto terapéutico usando indicadores tales como la expresión de la proteína distrofina en tejidos de biopsia muscular, los niveles en suero de creatina quinasa y los síntomas clínicos, este tratamiento se repite apropiadamente. Si se reconoce el efecto terapéutico y aún no se observan efectos secundarios definidos, se continúa este tratamiento; en principio, la administración se continúa toda la vida.

La presente memoria descriptiva incluye los contenidos divulgados en las memorias descriptivas y/o dibujos de las solicitudes de patente japonesa N.º 2002-340857 y N.º 2003-204381 basadas sobre lo cual la presente solicitud reivindica prioridad.

Breve descripción de los dibujos

- La Fig.1 muestra los efectos de los compuestos de los Ejemplos 1-4 (AO3, AO4, AO5 y AO6) sobre el salto del exón 51.
 La Fig.2 muestra los efectos de los compuestos de los Ejemplos 5-7 (AO8, AO9, y AO10) sobre el salto del exón 51.
 La Fig.3 muestra el efecto del compuesto del Ejemplo 8 (AO37) sobre el salto del exón 51.
 La Fig.4 muestra los efectos de los compuestos de los Ejemplos 9-11 (AO39, AO43 y AO58) sobre el salto del exón 51.

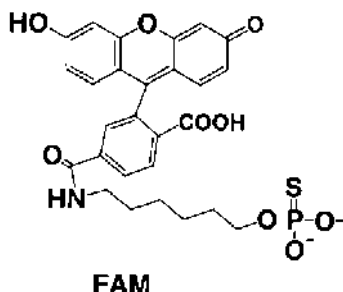
Mejores modos de realizar la invención

A partir de ahora en este documento, la presente invención se describirá específicamente con referencia a los siguientes Ejemplos. Estos Ejemplos se proporcionan solamente con fines ilustrativos, y no pretenden limitar la presente invención.

(EJEMPLO DE REFERENCIA 1) Síntesis de hAON4

- hAON4 [FAM-CUG CUU CCU CCAACC (SEC ID N.º: 23); todos los nucleótidos son 2'-O-metilnucleótido y se enlazan entre sí por un enlace fosforotioato] que se divulga en un documento (van Deutekom, J.C.T. *et al.* (2001) Hum. Mol. Genet. 10, 1547-1554) y se conoce como un oligonucleótido que induce que el salto del exón 46 se sintetizó de acuerdo con el documento anterior.

- FAM es un grupo fluorescente con la siguiente estructura.



(EJEMPLO DE REFERENCIA 2) Síntesis de hAON6

- hAON6 [FAM-GUU AUC UGC UUC CUC CAA CC (SEC ID N.º: 24); todos los nucleótidos son 2'-O-metilnucleótido y se enlazan entre sí por un enlace fosforotioato] que se divulga en un documento (van Deutekom, J.C.T. *et al.* (2001) Hum. Mol. Genet. 10, 1547-1554) y se conoce como un oligonucleótido que induce que el salto del exón 46 se sintetizó de acuerdo con el documento anterior.

(EJEMPLO DE REFERENCIA 3)

hAON8 [FAM-GCU UUU CUU UUA GUU GCU GC (SEC ID N.º: 25); todos los nucleótidos son 2'-O-metilnucleótido y se enlazan entre sí por un enlace fosforotioato] que se divulga en un documento (van Deutekom, J.C.T. *et al.* (2001) Hum. Mol. Genet. 10, 1547-1554) y se conoce como un oligonucleótido que induce que el salto del exón 46 se sintetizó de acuerdo con el documento anterior.

(EJEMPLO DE REFERENCIA 4)

10 Síntesis de HO-
G^{mp}-A^{e2p}-A^{mp}-A^{mp}-A^{mp}-C^{e2p}-G^{mp}-C^{e2p}-C^{e2p}-G^{mp}-C^{mp}-C^{e2p}-A^{mp}-T^{e2p}-U^{mp}-U^{mp}-C^{e2p}-T^{e2p}-CH₂CH₂OH (AO100)

15 El presente compuesto se sintetizó con un sintetizador automático de ácidos nucleicos (sintetizador de ADN/ARN PerkinElmer ABI modelo 394) en un programa de ADN de 40 nmol. Las concentraciones de disolventes, reactivos y fosforoamiditas en ciclos individuales de síntesis fueron las mismas que las usadas en la síntesis de oligonucleótidos naturales. Los disolventes, reactivos y fosforoamiditas de 2'-O-metilnucleósido (forma adenosina: producto N.º 27-1822-41; forma guanosina: producto N.º 27-1826-41; forma citidina: producto N.º 27-1823-02; forma uridina: producto N.º 27-1825-42) fueron productos de Amersham Pharmacia. Como fosforoamiditas no naturales, se usaron aquellos compuestos divulgados en el Ejemplo 55 (5'-O-dimetoxitritil-2'-O,4'-C-etileno-6-N-benzoiladenosina-3'-O-(2-cianoetil N,N-diisopropil)fosforoamidita), Ejemplo 68 (5'-O-dimetoxitritil-2'-O,4'-C-etileno-N-isobutililguanosa-3'-O-(2-cianoetil N,N-diisopropil)fosforoamidita), Ejemplo 63 (5'-O-dimetoxitritil-2'-O,4'-C-etileno-4-N-benzoil-5-metilcitidina-3'-O-(2-cianoetil N,N-diisopropil)fosforoamidita), y Ejemplo 50 (5'-O-dimetoxitritil-2'-O,4'-C-etileno-5-metiluridina-3'-O-(2-cianoetil N,N-diisopropil)fosforoamidita) de la publicación de patente japonesa no examinada N.º 2000-297097. El presente compuesto se sintetizó en un vidrio de poro controlado modificado (CPG) (divulgado en el Ejemplo 12b de la publicación de patente japonesa no examinada N.º H7-87982) como soporte sólido. Sin embargo, el periodo de tiempo para la condensación de amiditas fue de 15 min.

30 El análogo oligonucleotídico protegido que tiene la secuencia de interés se trató con amoniaco acuoso concentrado para cortar de este modo el oligómero del soporte y, al mismo tiempo, retirar los grupos cianoetilo protectores en átomos de fósforo y los grupos protectores en bases de ácido nucleico. El disolvente se retiró por destilación a presión reducida, y el residuo resultante se purificó por HPLC de fase inversa [Shimadzu modelo LC-10VP; columna: Merck, Chromolith Performance RP-18e (4,6 x 100 mm); solución A: acetonitrilo al 5 %, acetato de trietilamina acuoso 0,1 M (TEAA), pH 7,0; solución B: acetonitrilo B%: 10 % → 45 % (8 min, gradiente lineal); 60 °C; 2 ml/min; 254 nm]. Se recogió la fracción eluida a 6,55 min. Después de retirar por destilación el disolvente a presión reducida, se añadió solución acuosa de ácido acético al 80 % al residuo, que después se dejó durante 20 min para retirar el grupo DMTr. Después de retirar por destilación el disolvente, el residuo resultante se disolvió en 0,5 ml de agua y se filtró con Ultrafree-MC (Millipore: producto N.º UFC4 OHV 25). El disolvente se retiró por destilación para obtener de este modo el compuesto de interés (1,40 unidades A₂₆₀) (λ_{max} (H₂O) = 264 nm). Cuando se analizó por HPLC de fase inversa [columna: Merck, Chromolith Performance RP-18e (4,6 x 100 mm); solución A: acetonitrilo al 5 %, acetato de trietilamina acuoso 0,1 M (TEAA), pH 7,0; solución B: acetonitrilo al 25 %, TEAA 0,1 M B%: 20 % → 100 % (10 min, gradiente lineal); 60 °C; 2 ml/min; 254 nm], el presente compuesto se eluyó a 5,40 min. El compuesto se identificó por análisis espectrométrico de masas ESI de iones negativos (valor calculado: 6245,68).

45 La secuencia de nucleótidos del presente compuesto es complementaria a los nucleótidos N.º 6133-6155 del ADNc de la distrofina (N.º de acceso a Gene Bank NM_004006.1).

(EXÓN 51)

(EJEMPLO 1)

50 T^{e2p}-G^{e2p}-T^{e2p}-G^{e2p}-T^{e2p}-C^{mp}-A^{mp}-C^{mp}-C^{mp}-A^{mp}-G^{mp}-A^{mp}-G^{mp}-U^{mp}-A^{mp}-A^{e2p}-C^{e2p}-A^{e2p}-G^{e2p}-T^{e2p}-CH₂CH₂OH (AO3)

55 El compuesto del Ejemplo 1 que tiene una secuencia de interés se sintetizó de la misma manera que en el Ejemplo de referencia 4, excepto que la N,N-diisopropilfosforamidita de fenil2-cianoetilo (Hotoda, H. *et al.* Nucleosides & Nucleotides 15, 531-538, (1996)) se usó en la condensación final para introducir fenilfosfato en el extremo terminal 5'. Después de la desprotección, el producto resultante se purificó por HPLC de fase inversa [Shimadzu modelo LC-10VP; columna: Merck, Chromolith Performance RP-18e (4,6 x 100 mm); solución A: acetonitrilo al 5 %, acetato de trietilamina acuoso 0,1 M (TEAA), pH 7,0; solución B: % de acetonitrilo B: 5 % → 15 % (10 min, gradiente lineal); 60 °C; 2 ml/min; 254 nm]. Se recogió la fracción eluida a 5,24 min. Después de retirar por destilación el disolvente, el residuo resultante se disolvió en 0,5 ml de agua y se filtró con Ultrafree-MC (Millipore: producto N.º UFC4 OHV 25). El disolvente se retiró por destilación para obtener de este modo el compuesto de interés (1,21 unidades A₂₆₀) (λ_{max} (H₂O) = 259 nm). Cuando se analizó por HPLC de fase inversa [columna: Merck, Chromolith Performance RP-18e (4,6 x 100 mm); solución A: acetonitrilo al 5 %, acetato de trietilamina acuoso 0,1 M (TEAA), pH 7,0; solución B: % de acetonitrilo B: 5 % → 15 % (10 min, gradiente lineal); 60 °C; 2 ml/min; 254 nm], el presente compuesto se eluyó a 5,79 min. El compuesto se identificó por análisis espectrométrico de masas ESI de iones negativos (valor calculado: 6240,22; valor medido: 6239,82).

La secuencia de nucleótidos del presente compuesto es complementaria a los nucleótidos N.º 7565-7584 del ADNc de la distrofina (N.º de acceso a Gene Bank NM_004006.1).

(EJEMPLO 2)

5

Síntesis de Ph-

$A^{e2p}-G^{e2p}-G^{e2p}-T^{e2p}-T^{e2p}-G^{mp}-U^{mp}-G^{mp}-U^{mp}-C^{mp}-A^{mp}-C^{mp}-C^{mp}-A^{mp}-G^{mp}-A^{e2p}-G^{e2p}-T^{e2p}-A^{e2p}-A^{e2p}-CH_2CH_2OH$ (AO4)

El compuesto del Ejemplo 2 que tiene una secuencia de interés se sintetizó de la misma manera que en el Ejemplo de referencia 4, excepto que la N,N-diisopropilfosforamidita de fenil2-cianoetilo (Hotoda, H. *et al.* Nucleosides & Nucleotides 15, 531-538, (1996)) se usó en la condensación final para introducir fenilfosfato en el extremo terminal 5'. Después de desprotección, el producto resultante se purificó por HPLC de fase inversa [Shimadzu modelo LC-10VP; columna: Merck, Chromolith Performance RP-18e (4,6 x 100 mm); solución A: acetonitrilo al 5 %, acetato de trietilamina acuoso 0,1 M (TEAA), pH 7,0; solución B: % de acetonitrilo B: 5 % → 15 % (10 min, gradiente lineal); 60 °C; 2 ml/min; 254 nm]. Se recogió la fracción eluida a 6,23 min. Después de retirar por destilación el disolvente, el residuo resultante se disolvió en 0,5 ml de agua y se filtró con Ultrafree-MC (Millipore: producto N.º UFC4 OHV 25). El disolvente se retiró por destilación para obtener de este modo el compuesto de interés (2,67 unidades A_{260}) (λ_{max} (H₂O) = 259 nm). Cuando se analizó por HPLC de fase inversa [columna: Merck, Chromolith Performance RP-18e (4,6 x 100 mm); solución A: acetonitrilo al 5 %, acetato de trietilamina acuoso 0,1 M (TEAA), pH 7,0; solución B: % de acetonitrilo B: 5 % → 15 % (10 min, gradiente lineal); 60 °C; 2 ml/min; 254 nm], el presente compuesto se eluyó a 6,45 min. El compuesto se identificó por análisis espectrométrico de masas ESI de iones negativos (valor calculado: 7153,77; valor medido: 7152,95).

La secuencia de nucleótidos del presente compuesto es complementaria a los nucleótidos N.º 7569-7588 de ADNc de la distrofina (N.º de acceso a Gene Bank NM_004006.1).

25

(EJEMPLO 3)

Síntesis de Ph-

$A^{e2p}-G^{e2p}-T^{e2p}-A^{e2p}-A^{e2p}-C^{mp}-C^{mp}-A^{mp}-C^{mp}-A^{mp}-G^{mp}-G^{mp}-U^{mp}-U^{mp}-G^{mp}-T^{e2p}-G^{e2p}-T^{e2p}-C^{e2p}-A^{e2p}-CH_2CH_2OH$ (AO5)

30

[El compuesto del Ejemplo 3 que tiene una secuencia de interés se sintetizó de la misma manera que en el Ejemplo de referencia 4, excepto que la N,N-diisopropilfosforamidita de fenil2-cianoetilo (Hotoda, H. *et al.* Nucleosides & Nucleotides 15, 531-538, (1996)) se usó en la condensación final para introducir fenilfosfato en el extremo terminal 5'. Después de desprotección, el producto resultante se purificó por HPLC de fase inversa [Shimadzu modelo LC-10VP; columna: Merck, Chromolith Performance RP-18e (4,6 x 100 mm); solución A: acetonitrilo al 5 %, acetato de trietilamina acuoso 0,1 M (TEAA), pH 7,0; solución B: % de acetonitrilo B: 5 % → 15 % (10 min, gradiente lineal); 60 °C; 2 ml/min; 254 nm]. Se recogió la fracción eluida a 4,71 min. Después de retirar por destilación el disolvente, el residuo resultante se disolvió en 0,5 ml de agua y se filtró con Ultrafree-MC (Millipore: producto N.º UFC4 OHV 25). El disolvente se retiró por destilación para obtener de este modo el compuesto de interés (0,836 unidades A_{260}) (λ_{max} (H₂O) = 259 nm). Cuando se analizó por HPLC de fase inversa [columna: Merck, Chromolith Performance RP-18e (4,6 x 100 mm); solución A: acetonitrilo 5 %, acetato de trietilamina acuoso 0,1 M (TEAA), pH 7,0; solución B: % de acetonitrilo B: 5 % → 15 % (10 min, gradiente lineal); 60 °C; 2 ml/min; 254 nm], el presente compuesto se eluyó a 5,56 min. El compuesto se identificó por análisis espectrométrico de masas ESI de iones negativos (valor calculado: 7127,78; valor medido: 7127,27).

45

La secuencia de nucleótidos del presente compuesto es complementaria a los nucleótidos N.º 7578-7597 de ADNc de la distrofina (N.º de acceso a Gene Bank NM_004006.1).

(EJEMPLO 4)

50

Síntesis de Ph-

$T^{e2p}-T^{e2p}-G^{e2p}-A^{e2p}-T^{e2p}-C^{mp}-A^{mp}-A^{mp}-G^{mp}-C^{mp}-A^{mp}-G^{mp}-A^{mp}-G^{mp}-A^{mp}-A^{e2p}-A^{e2p}-G^{e2p}-C^{e2p}-C^{e2p}-CH_2CH_2OH$ (AO6)

55

El compuesto del Ejemplo 4 que tiene una secuencia de interés se sintetizó de la misma manera que en el Ejemplo de referencia 4, excepto que la N,N-diisopropilfosforamidita de fenil2-cianoetilo (Hotoda, H. *et al.* Nucleosides & Nucleotides 15, 531-538, (1996)) se usó en la condensación final para introducir fenilfosfato en el extremo terminal 5'. Después de desprotección, el producto resultante se purificó por HPLC de fase inversa [Shimadzu modelo LC-10VP; columna: Merck, Chromolith Performance RP-18e (4,6 x 100 mm); solución A: acetonitrilo al 5 %, acetato de trietilamina acuoso 0,1 M (TEAA), pH 7,0; solución B: % de acetonitrilo B: 5 % → 15 % (10 min, gradiente lineal); 60 °C; 2 ml/min; 254 nm]. Se recogió la fracción eluida a 7,79 min. Después de retirar por destilación el disolvente, el residuo resultante se disolvió en 0,5 ml de agua y se filtró con Ultrafree-MC (Millipore: producto N.º UFC4 OHV 25). El disolvente se retiró por destilación para obtener de este modo el compuesto de interés (2,04 unidades A_{260}) (λ_{max} (H₂O) = 258 nm). Cuando se analizó por HPLC de fase inversa [columna: Merck, Chromolith Performance RP-18e (4,6 x 100 mm); solución A: acetonitrilo al 5 %, acetato de trietilamina acuoso 0,1 M (TEAA), pH 7,0; solución B: % de acetonitrilo B: 5 % → 15 % (10 min, gradiente lineal); 60 °C; 2 ml/min; 254 nm], el presente compuesto se eluyó a 7,81 min. El compuesto se identificó por análisis espectrométrico de masas ESI de iones negativos (valor calculado:

65

7187,88; valor medido: 7187,41).

La secuencia de nucleótidos del presente compuesto es complementaria a los nucleótidos N.º 7698-7717 de ADNc de la distrofina (N.º de acceso a Gene Bank NM_004006,1).

5
(EJEMPLO 5)

Síntesis de Ph-
C^{e2p}-A^{e2p}-C^{e2p}-C^{e2p}-C^{e2p}-U^{mp}-C^{mp}-U^{mp}-G^{mp}-U^{mp}-G^{mp}-A^{mp}-U^{mp}-U^{mp}-U^{mp}-T^{e2p}-A^{e2p}-T^{e2p}-A^{e2p}-A^{e2p}-CH₂CH₂OH (AO8)

10 El compuesto del Ejemplo 5 que tiene una secuencia de interés se sintetizó de la misma manera que en el Ejemplo de referencia 4, excepto que la N,N-diisopropilfosforamidita de fenil2-cianoetilo (Hotoda, H. *et al.* Nucleosides & Nucleotides 15, 531-538, (1996)) se usó en la condensación final para introducir fenilfosfato en el extremo terminal 5'. Después de desprotección, el producto resultante se purificó por HPLC de fase inversa [Shimadzu modelo LC-10VP; columna: Merck, Chromolith Performance RP-18e (4,6 x 100 mm); solución A: acetonitrilo al 5 %, acetato de trietilamina acuoso 0,1 M (TEAA), pH 7,0; solución B: % de acetonitrilo B: 5 % → 13 % (8 min, gradiente lineal); 60 °C; 2 ml/min; 254 nm]. Se recogió la fracción eluida a 7,20 min. Después de retirar por destilación el disolvente, el residuo resultante se disolvió en 0,5 ml de agua y se filtró con Ultrafree-MC (Millipore: producto N.º UFC4 OHV 25). El disolvente se retiró por destilación para obtener de este modo el compuesto de interés (2,64 unidades A₂₆₀) (λ_{max} (H₂O) = 260 nm). Cuando se analizó por HPLC de fase inversa [columna: Merck, Chromolith Performance RP-18e (4,6 x 100 mm); solución A: acetonitrilo al 5 %, acetato de trietilamina acuoso 0,1 M (TEAA), pH 7,0; solución B: % de acetonitrilo B: 5 % → 15 % (10 min, gradiente lineal); 60 °C; 2 ml/min; 254 nm], el presente compuesto se eluyó a 7,07 min. El compuesto se identificó por análisis espectrométrico de masas ESI de iones negativos (valor calculado: 7014,69; valor medido: 7014,45).

25 La secuencia de nucleótidos del presente compuesto es complementaria a los nucleótidos N.º 7719-7738 de ADNc de la distrofina (N.º de acceso a Gene Bank NM_004006,1).

30 (EJEMPLO 6)

Síntesis de Ph-
A^{e2p}-C^{e2p}-C^{e2p}-C^{e2p}-A^{e2p}-C^{mp}-C^{mp}-A^{mp}-U^{mp}-C^{mp}-A^{mp}-C^{mp}-C^{mp}-C^{mp}-U^{mp}-C^{e2p}-T^{e2p}-G^{e2p}-T^{e2p}-G^{e2p}-CH₂CH₂OH (AO9)

35 El compuesto del Ejemplo 6 que tiene una secuencia de interés se sintetizó de la misma manera que en el Ejemplo de referencia 4, excepto que la N,N-diisopropilfosforamidita de fenil2-cianoetilo (Hotoda, H. *et al.* Nucleosides & Nucleotides 15, 531-538, (1996)) se usó en la condensación final para introducir fenilfosfato en el extremo terminal 5'. Después de desprotección, el producto resultante se purificó por HPLC de fase inversa [Shimadzu modelo LC-10VP; columna: Merck, Chromolith Performance RP-18e (4,6 x 100 mm); solución A: acetonitrilo al 5 %, acetato de trietilamina acuoso 0,1 M (TEAA), pH 7,0; solución B: % de acetonitrilo B: 5 % → 15 % (10 min, gradiente lineal); 60 °C; 2 ml/min; 254 nm]. Se recogió la fracción eluida a 6,74 min. Después de retirar por destilación el disolvente, el residuo resultante se disolvió en 0,5 ml de agua y se filtró con Ultrafree-MC (Millipore: producto N.º UFC4 OHV 25). El disolvente se retiró por destilación para obtener de este modo el compuesto de interés (3,08 unidades A₂₆₀) (λ_{max} (H₂O) = 265 nm). Cuando se analizó por HPLC de fase inversa [columna: Merck, Chromolith Performance RP-18e (4,6 x 100 mm); solución A: 5 % acetonitrilo, acetato de trietilamina acuoso 0,1 M (TEAA), pH 7,0; solución B: % de acetonitrilo B: 5 % → 15 % (10 min, gradiente lineal); 60 °C; 2 ml/min; 254 nm], el presente compuesto se eluyó a 7,20 min. El compuesto se identificó por análisis espectrométrico de masas ESI de iones negativos (valor calculado: 6986,72; valor medido: 6986,81).

50 La secuencia de nucleótidos del presente compuesto es complementaria a los nucleótidos N.º 7728-7747 de ADNc de la distrofina (N.º de acceso a Gene Bank NM_004006,1).

(EJEMPLO 7)

Síntesis de Ph-
C^{e2p}-C^{e2p}-T^{e2p}-C^{e2p}-A^{e2p}-A^{mp}-G^{mp}-G^{mp}-U^{mp}-C^{mp}-A^{mp}-C^{mp}-C^{mp}-C^{mp}-A^{mp}-C^{e2p}-C^{e2p}-A^{e2p}-T^{e2p}-C^{e2p}-CH₂CH₂OH (AO10)

55 El compuesto del Ejemplo 7 que tiene una secuencia de interés se sintetizó de la misma manera que en el Ejemplo de referencia 4, excepto que la N,N-diisopropilfosforamidita de fenil2-cianoetilo (Hotoda, H. *et al.* Nucleosides & Nucleotides 15, 531-538, (1996)) se usó en la condensación final para introducir fenilfosfato en el extremo terminal 5'. Después de desprotección, el producto resultante se purificó por HPLC de fase inversa [Shimadzu modelo LC-10VP; columna: Merck, Chromolith Performance RP-18e (4,6 x 100 mm); solución A: acetonitrilo 5 %, acetato de trietilamina acuoso 0,1 M (TEAA), pH 7,0; solución B: % de acetonitrilo B: 5 % → 15 % (10 min, gradiente lineal); 60 °C; 2 ml/min; 254 nm]. Se recogió la fracción eluida a 6,62 min. Después de retirar por destilación el disolvente, el residuo resultante se disolvió en 0,5 ml de agua y se filtró con Ultrafree-MC (Millipore: producto N.º UFC4 OHV 25). El disolvente se retiró por destilación para obtener de este modo el compuesto de interés (3,31 unidades A₂₆₀) (λ_{max} (H₂O) = 266 nm). Cuando se analizó por HPLC de fase inversa [columna: Merck, Chromolith Performance RP-18e (4,6 x 100 mm); solución A: 5 % acetonitrilo, acetato de trietilamina acuoso 0,1 M (TEAA), pH 7,0; solución B: % de

acetonitrilo B: 5 % → 15 % (10 min, gradiente lineal); 60 °C; 2 ml/min; 254 nm], el presente compuesto se eluyó a 6,46 min. El compuesto se identificó por análisis espectrométrico de masas ESI de iones negativos (valor calculado: 7037,82; valor medido: 7036,73).

- 5 La secuencia de nucleótidos del presente compuesto es complementaria a los nucleótidos N.º 7738-7757 de ADNc de la distrofina (N.º de acceso a Gene Bank NM_004006.1).

(EJEMPLO 8)

- 10 Síntesis de HO-T^{e2p}-A^{e2p}-A^{e2p}-C^{e2p}-A^{e2p}-G^{mp}-U^{mp}-C^{mp}-U^{mp}-G^{mp}-A^{mp}-G^{mp}-U^{mp}-A^{e2p}-G^{e2p}-G^{e2p}-A^{e2p}-G^{e2p}-CH₂CH₂ OH (AO37)

- 15 El compuesto del Ejemplo 8 que tiene una secuencia de interés se sintetizó de la misma manera que se sintetizó el compuesto del Ejemplo de referencia 4. Después de la desprotección, el producto resultante se purificó por HPLC de fase inversa [Shimadzu modelo LC-10VP; columna: Merck, Chromolith Performance RP-18e (4,6 x 100 mm); solución A: 5 % acetonitrilo, acetato de trietilamina acuoso 0,1 M (TEAA), pH 7,0; solución B: % de acetonitrilo B: 10 % → 45 % (10 min, gradiente lineal); 60 °C; 2 ml/min; 254 nm]. Se recogió la fracción eluida a 7,64 min. Después de retirar el disolvente por destilación a presión reducida, se añadió una solución acuosa al 80 % de ácido acético al residuo, que después se dejó durante 20 min para retirar el grupo DMTr. Después de retirar por destilación el disolvente, el residuo resultante se disolvió en 0,5 ml de agua y se filtró con Ultrafree-MC (Millipore: producto N.º UFC4 OHV 25). El disolvente se retiró por destilación para obtener de este modo el compuesto de interés (17,9 unidades A₂₆₀) (λ_{max} (H₂O) = 257 nm). Cuando se analizó por HPLC de fase inversa [columna: Merck, Chromolith Performance RP-18e (4,6 x 100 mm); solución A: acetonitrilo al 5 %, acetato de trietilamina acuoso 0,1 M (TEAA), pH 7,0; solución B: acetonitrilo al 25 %, TEAA 0,1 M B%: 20 % → 60 % (10 min, gradiente lineal); 60 °C; 2 ml/min; 254 nm], el presente compuesto se eluyó a 9,03 min. El compuesto se identificó por análisis espectrométrico de masas ESI de iones negativos (valor calculado: 6344,26; valor medido: 6343,66).
- 20
- 25

La secuencia de nucleótidos del presente compuesto es complementaria a los nucleótidos N.º 7554-7571 del ADNc de la distrofina (N.º de acceso a Gene Bank NM_004006.1).

- 30 (EJEMPLO 9)

Síntesis de HO-G^{e2p}-G^{e2p}-C^{e2p}-A^{e2p}-T^{e2p}-U^{mp}-U^{mp}-C^{mp}-U^{mp}-A^{mp}-G^{mp}-U^{mp}-U^{mp}-T^{e2p}-G^{e2p}-G^{e2p}-A^{e2p}-G^{e2p}-CH₂CH₂OH (AO39)

- 35 El compuesto del Ejemplo 9 que tiene una secuencia de interés se sintetizó del mismo modo que se sintetizó el compuesto del Ejemplo de referencia 4. Después de la desprotección, el producto resultante se purificó por HPLC de fase inversa [Shimadzu modelo LC-10VP; columna: Merck, Chromolith Performance RP-18e (4,6 x 100 mm); solución A: acetonitrilo al 5 %, acetato de trietilamina acuoso 0,1 M (TEAA), pH 7,0; solución B: acetonitrilo B%: 10 % → 45 % (10 min, gradiente lineal); 60 °C; 2 ml/min; 254 nm]. Se recogió la fracción eluida a 6,82 min. Después de retirar el disolvente por destilación a presión reducida, se añadió solución acuosa de ácido acético al 80 % al residuo, que después se dejó durante 20 min para retirar el grupo DMTr. Después de retirar por destilación el disolvente, el residuo resultante se disolvió en 0,5 ml de agua y se filtró con Ultrafree-MC (Millipore: producto N.º UFC4 OHV 25). El disolvente se retiró por destilación para obtener de este modo el compuesto de interés (17,5 unidades A₂₆₀) (λ_{max} (H₂O) = 250 nm). Cuando se analizó por HPLC de fase inversa [columna: Merck, Chromolith Performance RP-18e (4,6 x 100 mm); solución A: acetonitrilo al 5 %, acetato de trietilamina acuoso 0,1 M (TEAA), pH 7,0; solución B: acetonitrilo al 25 %, TEAA 0,1 M B%: 20 % → 60 % (10 min, gradiente lineal); 60 °C; 2 ml/min; 254 nm], el presente compuesto se eluyó a 6,27 min. El compuesto se identificó por análisis espectrométrico de masas ESI de iones negativos (valor calculado: 6289,17; valor medido: 6289,10).
- 40
- 45
- 50

La secuencia de nucleótidos del presente compuesto es complementaria a los nucleótidos N.º 7612-7629 del ADNc de la distrofina (N.º de acceso a Gene Bank NM_004006.1).

(EJEMPLO 10)

- 55 Síntesis de HO-A^{e2p}-G^{e2p}-C^{e2p}-C^{e2p}-A^{e2p}-G^{mp}-U^{mp}-C^{mp}-G^{mp}-G^{mp}-U^{mp}-A^{mp}-A^{mp}-G^{e2p}-T^{e2p}-T^{e2p}-C^{e2p}-T^{e2p}-CH₂CH₂OH (AO43)

- 60 El compuesto del Ejemplo 10 que tiene una secuencia de interés se sintetizó del mismo modo que se sintetizó el compuesto del Ejemplo 1. Después de la desprotección, el producto resultante se purificó por HPLC de fase inversa [Shimadzu modelo LC-10VP; columna: Merck, Chromolith Performance RP-18e (4,6 x 100 mm); solución A: acetonitrilo al 5 %, acetato de trietilamina acuoso 0,1 M (TEAA), pH 7,0; solución B: acetonitrilo B%: 10 % → 45 % (10 min, gradiente lineal); 60 °C; 2 ml/min; 254 nm]. Se recogió la fracción eluida a 6,76 min. Después de retirar el disolvente por destilación a presión reducida, se añadió solución acuosa de ácido acético al 80 % al residuo, que después se dejó durante 20 min para retirar el grupo DMTr. Después de retirar por destilación el disolvente, el residuo resultante se disolvió en 0,5 ml de agua y se filtró con Ultrafree-MC (Millipore: producto N.º UFC4 OHV 25).
- 65

El disolvente se retiró por destilación para obtener de este modo el compuesto de interés (6,57 unidades A_{260}) (λ_{max} (H_2O) = 258 nm). Cuando se analizó por HPLC de fase inversa [columna: Merck, Chromolith Performance RP-18e (4,6 x 100 mm); solución A: acetonitrilo al 5 %, acetato de trietilamina acuosa 0,1 M (TEAA), pH 7,0; solución B: acetonitrilo al 25 %, TEAA 0,1 M B%: 20 % → 60 % (10 min, gradiente lineal); 60°C; 2 ml/min; 254 nm], el presente compuesto se eluyó a 8,90 min. El compuesto se identificó por análisis espectrométrico de masas ESI de iones negativos (valor calculado: 6313,28; valor medido: 6313,15).

La secuencia de nucleótidos del presente compuesto es complementaria a los nucleótidos N.º 7684-7701 de ADNc de la distrofina (N.º de acceso a Gene Bank NM_004006.1).

(EJEMPLO 11)

Síntesis de HO-A^{e2p}-G^{e2p}-T^{e2p}-T^{e2p}-T^{e2p}-G^{mp}-G^{mp}-A^{mp}-G^{mp}-A^{mp}-U^{mp}-G^{mp}-G^{mp}-C^{e2p}-A^{e2p}-G^{e2p}-T^{e2p}-T^{e2p}-CH₂CH₂OH (AO58)

EL compuesto del Ejemplo 11 que tiene una secuencia de interés se sintetizó del mismo modo que se sintetizó el compuesto del Ejemplo de referencia 4. Después de la desprotección, el producto resultante se purificó por HPLC de fase inversa [Shimadzu modelo LC-10VP; columna: Merck, Chromolith Performance RP-18e (4,6 x 100 mm); solución A: acetonitrilo al 5 %, acetato de trietilamina acuoso 0,1 M (TEAA), pH 7,0; solución B: acetonitrilo B%: 10 % → 38 % (8 min, gradiente lineal); 60°C; 2 ml/min; 254 nm]. Se recogió la fracción eluida a 6,62 min. Después de retirar el disolvente por destilación a presión reducida, se añadió solución acuosa de ácido acético al 80 % al residuo, que después se dejó durante 20 min para retirar el grupo DMTr. Después de retirar por destilación el disolvente, el residuo resultante se disolvió en 0,5 ml de agua y se filtró con Ultrafree-MC (Millipore: producto N.º UFC4 OHV 25). El disolvente se retiró por destilación para obtener de este modo el compuesto de interés (10,7 unidades A_{260}) (λ_{max} (H_2O) = 258 nm). Cuando se analizó por HPLC de fase inversa [columna: Merck, Chromolith Performance RP-18e (4,6 x 100 mm); solución A: acetonitrilo al 5 %, acetato de trietilamina acuoso 0,1 M (TEAA), pH 7,0; solución B: acetonitrilo al 25 %, TEAA 0,1 M B%: 20 % → 80 % (10 min, gradiente lineal); 60°C; 2 ml/min; 254 nm], el presente compuesto se eluyó a 4,80 min. El compuesto se identificó por análisis espectrométrico de masas ESI de iones negativos (valor calculado: 6313,28; valor medido: 6313,15).

La secuencia de nucleótidos del presente compuesto es complementaria a los nucleótidos N.º 7603-7620 del ADNc de la distrofina (N.º de acceso a Gene Bank NM_004006.1).

(EJEMPLO 12)

Síntesis de HO-G^{mp}-G^{mp}-C^{e2p}-A^{mp}-T^{e2p}-T^{e2p}-U^{mp}-C^{e2p}-T^{e2p}-A^{mp}-G^{mp}-U^{mp}-T^{e2p}-T^{e2p}-G^{mp}-G^{mp}-A^{e2p}-G^{mp}-CH₂CH₂OH (AO131)

El compuesto del Ejemplo 12 que tiene una secuencia de interés se sintetizó de la misma manera que el compuesto del Ejemplo de referencia 4. Después de la desprotección, el producto resultante se purificó por HPLC de fase inversa [Shimadzu modelo LC-10VP; columna: Merck, Chromolith Performance RP-18e (4,6 x 100 mm); solución A: acetonitrilo al 5 %, acetato de trietilamina acuoso 0,1 M (TEAA), pH 7,0; solución B: acetonitrilo B%: 10 % → 45 % (8 min, gradiente lineal); 60°C; 2 ml/min; 254 nm]. Se recogió la fracción eluida a 6,27 min. Después de retirar el disolvente por destilación a presión reducida, se añadió solución acuosa de ácido acético al 80 % al residuo, que después se dejó durante 20 min para retirar el grupo DMTr. Después de retirar por destilación el disolvente, el residuo resultante se disolvió en 0,5 ml de agua y se filtró con Ultrafree-MC (Millipore: producto N.º UFC4 OHV 25). El disolvente se retiró por destilación para obtener de este modo el compuesto de interés (1,80 unidades A_{260}). Cuando se analizó por HPLC de intercambio iónico [columna: Tosoh TSK-gel DEAE-5PW (7,5 x 75 mm); solución A: acetonitrilo al 20 %; solución B: acetonitrilo al 20 %, tampón fosfato 67 mM (pH 6,8), KBr 1,5 M, gradiente: solución B 15 → 60 % (10 min, gradiente lineal); 40°C; 2 ml/min], el presente compuesto se eluyó a 4,89 min.

La secuencia de nucleótidos del presente compuesto es complementaria a los nucleótidos N.º 7612-7629 del ADNc de la distrofina (N.º de acceso a Gene Bank NM_004006.1).

(EJEMPLO 13)

Síntesis de HO-G^{ms}-G^{ms}-C^{e2s}-A^{ms}-T^{e2s}-T^{e2s}-U^{ms}-C^{e2s}-T^{e2s}-A^{ms}-G^{ms}-U^{ms}-T^{e2s}-T^{e2s}-G^{ms}-G^{ms}-A^{e2s}-G^{ms}-CH₂CH₂OH (AO132)

El compuesto del Ejemplo 13 que tiene una secuencia de interés se sintetizó del mismo modo que se sintetizó el compuesto del Ejemplo de referencia 4. Sin embargo, la parte con un enlace fosforotioato se sulfuró tratando con una solución mixta de hidruro de xantano 0,02 M/acetonitrilo-piridina (mezcla 9:1) durante 15 min, en lugar de la etapa de oxidación con yodo- H_2O . Después de la desprotección, el producto resultante se purificó por HPLC de fase inversa [Shimadzu modelo LC-10VP; columna: Merck, Chromolith Performance RP-18e (4,6 x 100 mm); solución A: acetonitrilo al 5 %, acetato de trietilamina acuoso 0,1 M (TEAA), pH 7,0; solución B: acetonitrilo B%: 10 % → 45 % (8 min, gradiente lineal); 60°C; 2 ml/min; 254 nm]. Se recogió la fracción eluida a 6,47 min. Después de retirar el

disolvente por destilación a presión reducida, se añadió solución acuosa de ácido acético al 80 % al residuo, que después se dejó durante 20 min para retirar el grupo DMTr. Después de retirar por destilación el disolvente, el residuo resultante se disolvió en 0,5 ml de agua y se filtró con Ultrafree-MC (Millipore: producto N.º UFC4 OHV 25). El disolvente se retiró por destilación para obtener de este modo el compuesto de interés (15,1 unidades A_{260}).

5 Cuando se analizó por intercambio iónico [columna: Tosoh TSK-gel DEAE-5PW (7,5 x 75 mm); solución A: acetonitrilo al 20 %; solución B: acetonitrilo al 20 %, tampón fosfato 67 mM (pH 6,8), KBr 1,5 M; gradiente: solución B 20 → 80 % (10 min, gradiente lineal); 40 °C; 2 ml/min], el presente compuesto se eluyó a 8,46 min.

10 La secuencia de nucleótidos del presente compuesto es complementaria a los nucleótidos N.º 7612-7629 del ADNc de la distrofina (N.º de acceso a Gene Bank NM_004006.1).

(EJEMPLO 14)

15 Síntesis de HO-A^{e2s}-G^{ms}-T^{e2s}-U^{ms}-T^{e2s}-G^{ms}-G^{ms}-A^{e2s}-G^{ms}-A^{ms}-T^{e2s}-G^{ms}-G^{ms}-C^{e2s}-A^{e2s}-G^{ms}-T^{e2s}-T^{e2s}-CH₂CH₂OH (AO139)

20 El compuesto del Ejemplo 14 que tiene una secuencia de interés se sintetizó de la misma manera que el Ejemplo de referencia 4. Sin embargo, la porción con un enlace fosforotioato se sulfurizó por tratamiento con una solución mezcla de hidruro de xantano 0,02 M/acetonitrilo-piridina (mezcla 9:1) durante 15 min, en lugar de la etapa de oxidación con yodo-H₂O. Después de la desprotección, el producto resultante se purificó por HPLC de fase inversa [Shimadzu modelo LC-10VP; columna: Merck, Chromolith Performance RP-18e (4,6 x 100 mm); solución A: acetonitrilo al 5 %, acetato de trietilamina acuoso 0,1 M (TEAA), pH 7,0; solución B: acetonitrilo B%: 10 % → 45 % (8 min, gradiente lineal); 60 °C; 2 ml/min; 254 nm]. Se recogió la fracción eluida a 7,08 min. Después de retirar el disolvente por destilación a presión reducida, se añadió solución acuosa de ácido acético al 80 % al residuo, que después se dejó durante 20 min para retirar el grupo DMTr. Después de retirar por destilación el disolvente, el residuo resultante se disolvió en 0,5 ml de agua y se filtró con Ultrafree-MC (Millipore: producto N.º UFC4 OHV 25). El disolvente se retiró por destilación para obtener de este modo el compuesto de interés (12,9 unidades A_{260}). Cuando se analizó por HPLC de intercambio iónico [columna: Tosoh TSK-gel DEAE-5PW (7,5 x 75 mm); solución A: acetonitrilo al 20 %; solución B: acetonitrilo al 20 %, tampón fosfato 67 mM (pH 6,8), KBr 1,5 M; gradiente: solución B 20 → 80 % (10 min, gradiente lineal); 40 °C; 2 ml/min], el presente compuesto se eluyó a 6,92 min.

30 La secuencia de nucleótidos del presente compuesto es complementaria a los nucleótidos N.º 7603-7620 del ADNc de la distrofina (N.º de acceso a Gene Bank NM_004006.1).

35 (EJEMPLO 15)

Síntesis de HO-A^{e2p}-G^{mp}-T^{e2p}-U^{mp}-T^{e2p}-G^{mp}-G^{mp}-A^{e2p}-G^{mp}-A^{mp}-T^{e2p}-G^{mp}-G^{mp}-C^{e2p}-A^{e2p}-G^{mp}-T^{e2p}-T^{e2p}-CH₂CH₂O H (AO140)

40 El compuesto del Ejemplo 15 que tiene una secuencia de interés se sintetizó de la misma manera que el Ejemplo de referencia 4. Después de la desprotección, el producto resultante se purificó por HPLC de fase inversa [Shimadzu modelo LC-10VP; columna: Merck, Chromolith Performance RP-18e (4,6 x 100 mm); solución A: acetonitrilo al 5 %, acetato de trietilamina acuoso 0,1 M (TEAA), pH 7,0; solución B: acetonitrilo B%: 10 % → 45 % (8 min, gradiente lineal); 60 °C; 2 ml/min; 254 nm]. Se recogió la fracción eluida a 6,47 min. Después de retirar el disolvente por destilación a presión reducida, se añadió solución acuosa de ácido acético al 80 % al residuo, que después se dejó durante 20 min para retirar el grupo DMTr. Después de retirar por destilación el disolvente, el residuo resultante se disolvió en 0,5 ml de agua y se filtró con Ultrafree-MC (Millipore: producto N.º UFC4 OHV 25). El disolvente se retiró por destilación para obtener de este modo el compuesto de (3,54 unidades A_{260}). Cuando se analizó por HPLC de intercambio iónico [columna: Tosoh TSK-gel DEAE-5PW (7,5 x 75 mm); solución A: acetonitrilo al 20 %; solución B: acetonitrilo al 20 %, tampón fosfato 67 mM (pH 6,8), KBr 1,5 M; gradiente: solución B 20 → 80 % (10 min, gradiente lineal); 40 °C; 2 ml/min], el presente compuesto se eluyó 5,54 min.

50 La secuencia de nucleótidos del presente compuesto es complementaria a los nucleótidos N.º 7603-7620 del ADNc de la distrofina (N.º de acceso a Gene Bank. NM_004006.1).

55 (EJEMPLO DE ENSAYO) Método para el análisis de la capacidad de inducción del salto de exón por ENA antisentido

60 Preparación de cultivo primario de células mioblásticas

Se estableció un cultivo primario de células mioblásticas como se describe a continuación.

65 1. Se cortaron muestras de tejido muscular tomadas del músculo recto del muslo de pacientes con distrofia muscular de Duchenne en trozos finos y se lavaron con PBS dos veces.

2. El tejido muscular de 1 anterior se trató con Difco Bacto™ triptona 250 (solución al 5 % en PBS) a 37 °C

durante 30 min para obtener de este modo células libres enzimáticamente.

3. Las células libres de 2 anterior se lavaron con DMEM (que contenía FBS al 20 %) dos veces.

4. Las células de 3 anterior se suspendieron en DMEM (que contenía FBS al 20 % y ultroser G al 4 %).

5 para recuperar solamente células libres.

6. Las células recuperadas de 5 anterior se sembraron en placas recubiertas con gelatina.

7. Las células se cultivaron a 37 °C en una atmósfera de CO₂ al 5 % en aire.

Inducción de diferenciación

10

La diferenciación de las células musculares se indujo como se describe a continuación.

15 1. Las células cultivadas obtenidas anteriormente se sembraron en placas de 6 pocillos (recubiertas con gelatina). Cuando las células se hicieron confluentes, se intercambié el medio con DMEM (que contenía suero de caballo al 2 % (HS)).

2. Después de un cultivo de 4 días, las células se transfectaron con los compuestos preparados en los Ejemplos (ENA) como se describe a continuación.

Transfección de ENA

20

Las células mioblásticas se transfectaron con los compuestos preparados en los Ejemplos (ENA) como se describe a continuación.

25

1. Se disolvieron 200 pmol de cada uno de los compuestos preparados en los Ejemplos (10 µg/20 µl de milliQ) en 100 µl de Opti-MEM (GIBCO-BRL).

2. Se añadieron 6 µl de reactivo Plus (GIBCO-BRL) a la solución de 1 anterior, que después se dejó a temperatura ambiente durante 15 min.

3. En otro tubo, se disolvieron 8 µl de Lipofectamina (GIBCO-BRL) en 100 µl de Opti-MEM.

30

4. Después de completar el tratamiento de 2 anterior, la solución de 3 anterior se añadió a la solución de 2 anterior. La solución resultante se dejó a temperatura ambiente durante otros 15 min.

5. Las células mioblásticas 4 días después del inicio de la inducción de diferenciación se lavaron con PBS una vez. Después, se añadieron 800 µl de Opti-MEM a las mismas.

6. Después de completar el tratamiento de 4 anterior, la solución tratada se añadió a las células de 5 anterior.

35

7. Las células de 6 anterior se cultivaron a 37 °C en una atmósfera de CO₂ al 5 % en aire durante 3 h. Después, se añadieron 500 µl de DMEM (que contenía HS al 6 %) a cada pocillo.

8. Las células se cultivaron adicionalmente.

Extracción de ARN

40

Se extrajo el ARN como se describe a continuación.

1. Las células transfectadas con ENA se cultivaron durante 2 días y después se calentaron con PBS una vez. A estas células, se añadieron 500 µl de ISOGEN (Nippon Gene).

45

2. Las células se dejaron a temperatura ambiente durante 5 min, seguido de recuperación de ISOGEN en cada pocillo en tubos.

3. Se extrajo el ARN de acuerdo con el protocolo de ISOGEN (Nippon Gene).

4. Finalmente, se disolvió el ARN en 20 µl de DEPW.

Transcripción inversa

50

La transcripción inversa se realizó como se describe a continuación.

1. A 2 µg de ARN, se añadió DEPW (agua esterilizada tratada con dietilpirocarbonato) para hacer una solución de 6 µl.

55

2. A la solución de 1 anterior, se añadieron 2 µl de hexámero aleatorio (Invitrogen: 3 µg/µl de producto se diluyó a factor 20 antes de su uso).

3. La solución resultante se calentó a 65° durante 10 min.

4. Después, la solución se enfrió en hielo durante 2 min.

60

5. A la solución de reacción anterior, se añadió lo siguiente:

transcriptasa inversa MMLV (Invitrogen: 200 U/µl) 1 µl
inhibidor de ribonucleasa placentaria humana (Takara: 40 U/µl) 1 µl
DTT (adjuntado a transcriptasa inversa MMLV) 1 µl
tampón (adjuntado a transcriptasa inversa MMLV) 4 µl
dNTP (adjuntado a Takara Ex Taq) 5 µl

65

6. La solución resultante se mantuvo a 37 °C durante 1 h y después se calentó a 95 °C durante 5 min.
7. Después de la reacción, la solución se almacenó a -80 °C.

Reacción de PCR

5 La reacción de PCR se realizó como se describe a continuación.

1. Se mezclaron los siguientes componentes y después se calentaron a 94 °C durante 4 min.

10 Producto de transcripción inversa 3 µl
 Cebador directo (10 pmol/µl) 1 µl
 Cebador inverso (10 pmol/µl) 1 µl
 dNTP (adjuntados a TAKARA Ex Taq) 2 µl
 Tampón (adjuntado a TAKARA Ex Taq) 2 µl
 15 Ex Taq (TAKARA) 0,1 µl
 Agua esterilizada 11 µl

2. Después del tratamiento mencionado anteriormente a 94 °C durante 4 min, se realizaron 35 ciclos de 94 °C durante 1 min/60 °C durante 1 min/72 °C durante 3 min.
3. Después, la solución de reacción se calentó a 72 °C durante 7 min.

Las secuencias de nucleótidos de los cebadores directo e inverso usados en las reacciones PCR para detectar el salto del exón 51 son como se describe a continuación.

25 Exón 51:

Directo: 5'-CAAGGAGAAATTGAAGCTCAA -3' (exón 48) (SEC ID N.º: 81)
 Inverso: 5'-CGATCCGTAATGATTGTTCTAGC -3' (exón 52) (SEC ID N.º: 82)

3. El producto de PCR se analizó por electroforesis en gel de agarosa al 2 %.

El gel resultante se tiñó con bromuro de etidio. La banda resultante (A) (donde estaba saltado un exón) y la banda (B) (donde no estaba saltado un exón) se visualizaron con un dispositivo de fotografiado de gel (Printgraph Modelo AE-6911FXFD; ATTO) y se determinaron cuantitativamente con ATTO Densitograph ver.4.1 para Macintosh. Los valores obtenidos se pusieron en la fórmula $A/(A+B) \times 100$ para obtener la eficacia de salto (%). 5. La banda donde había sucedido salto se cortó y el producto de PCR se subclonó en el vector pT7 Blue-T (Novagen), seguido de reacción de secuenciación con el kit Thermo Sequenase TM II dye terminator cycle sequencing (Amersham Pharmacia Biotec) y la confirmación de la secuencia de nucleótidos con ABI PRISM 310 Genetic Analyzer (Applied Biosystems). Los procedimientos de reacción fueron de acuerdo con el manual adjuntado al kit.

40 [Resultados]

Las Fig. 1, 2, 3 y 4 muestran ejemplos del salto del exón 51, inducido por los compuestos AO3-6, AO8-10, AO37, AO39, AO43 y AO58. Como se muestra en estas Figuras, se observó el salto del exón 51 cuando se usaron estos compuestos.

(EJEMPLO DE FORMULACIÓN 1)

De acuerdo con la siguiente prescripción, se mezclaron y disolvieron cantidades necesarias de componentes base. A esta solución, se disuelve uno cualquiera de los compuestos de los Ejemplos 1 a 15 o una sal de los mismos para preparar una solución de un volumen específico. La solución resultante se filtra con un filtro de membrana de 0,22 µm de tamaño de poro para obtener de este modo una preparación para administración intravenosa.

Uno cualquiera de los compuestos de los Ejemplos 1 a 15 o una sal de los mismos	500 mg
Cloruro sódico	8,6 g
Cloruro de potasio	0,3 g
Cloruro de calcio	0,33 g
Agua destilada para inyección	para dar un volumen total de 1000 ml

60 (EJEMPLO DE FORMULACIÓN 2)

De acuerdo con la siguiente prescripción, se mezclaron y disolvieron cantidades necesarias de componentes base. A esta solución, se disuelve uno cualquiera de los compuestos de los Ejemplos 1 a 15 o una sal de los mismos para preparar una solución de un volumen específico. La solución resultante se filtra con un filtro de 15 nm de tamaño de poro (PLANOVE 15: Asahi Kasei) para obtener de este modo una preparación para administración intravenosa.

	Uno cualquiera de los compuestos de los Ejemplos 1 a 15 o una sal de los mismos	100 mg
	Cloruro sódico	8,3 g
	Cloruro de potasio	0,3 g
	Cloruro de calcio	0,33 g
5	Hidrogenofosfato sódico · 12H ₂ O	1,8 g
	HCl 1 N	cantidad apropiada (pH 7,4)
	Agua destilada para inyección	para dar un volumen total de 1000 ml

(EJEMPLO DE FORMULACIÓN 3)

10 De acuerdo con la siguiente prescripción, se mezclaron y disolvieron cantidades necesarias de componentes base. A esta solución, se disuelve uno cualquiera de los compuestos de los Ejemplos 1 a 15 o una sal de los mismos para preparar una solución de un volumen específico. La solución resultante se filtra con un filtro de 35 nm de tamaño de poro (PLANOVE 35: Asahi Kasei) para obtener de este modo una preparación para administración intravenosa.

	Uno cualquiera de los compuestos de los Ejemplos 1 a 15 o una sal de los mismos	100 mg
	Cloruro sódico	8,3 g
	Cloruro de potasio	0,3 g
	Cloruro de calcio	0,33 g
20	Glucosa	0,4 g
	Hidrogenofosfato sódico · 12H ₂ O	1,8 g
	HCl 1 N	cantidad apropiada (pH 7,4)
	Agua destilada para inyección	para dar un volumen total de 1000 ml

25 **Aplicabilidad industrial**

Los compuestos de la presente invención y sales farmacológicamente aceptables de los mismos tienen un efecto de inducir el salto del exón 51 del gen de la distrofina y por tanto son útiles como agentes farmacéuticos para tratar la distrofia muscular.

30 **Texto de libre de lista de secuencias**

La SEC ID N.º: 23 muestra la secuencia de nucleótidos del oligonucleótido preparado en el Ejemplo de referencia 1. La SEC ID N.º: 24 muestra la secuencia de nucleótidos del oligonucleótido preparado en el Ejemplo de referencia 2. La SEC ID N.º: 25 muestra la secuencia de nucleótidos del oligonucleótido preparado en el Ejemplo de referencia 3. La SEC ID N.º: 30 muestra la secuencia de nucleótidos del oligonucleótido preparado en el Ejemplo de referencia 4 (AO100). La SEC ID N.º: 56 muestra la secuencia de nucleótidos del oligonucleótido preparado en el Ejemplo 1 (AO3). La SEC ID N.º: 57 muestra la secuencia de nucleótidos del oligonucleótido preparado en el Ejemplo 2 (AO4). La SEC ID N.º: 58 muestra la secuencia de nucleótidos del oligonucleótido preparado en el Ejemplo 3 (AO5). La SEC ID N.º: 59 muestra la secuencia de nucleótidos del oligonucleótido preparado en el Ejemplo 4 (AO6). La SEC ID N.º: 60 muestra la secuencia de nucleótidos del oligonucleótido preparado en el Ejemplo 5 (AO8). La SEC ID N.º: 61 muestra la secuencia de nucleótidos del oligonucleótido preparado en el Ejemplo 6 (AO9). La SEC ID N.º: 62 muestra la secuencia de nucleótidos del oligonucleótido preparado en el Ejemplo 7 (AO10). La SEC ID N.º: 63 muestra la secuencia de nucleótidos del oligonucleótido preparado en el Ejemplo 8 (AO37). La SEC ID N.º: 64 muestra la secuencia de nucleótidos del oligonucleótido preparado en el Ejemplo 9 (AO39). La SEC ID N.º: 65 muestra la secuencia de nucleótidos del oligonucleótido preparado en el Ejemplo 10 (AO43). La SEC ID N.º: 66 muestra la secuencia de nucleótidos del oligonucleótido preparado en el Ejemplo 11 (AO58). La SEC ID N.º: 81 muestra la secuencia de nucleótidos del cebador directo (para la reacción de PCR para detectar el salto del exón 51) usado en el Ejemplo de ensayo. La SEC ID N.º: 82 muestra la secuencia de nucleótidos del cebador inverso (para la reacción de PCR para detectar el salto del exón 45) usado en el Ejemplo de ensayo. La SEC ID N.º: 87 muestra la secuencia de nucleótidos de los oligonucleótidos preparados en el Ejemplo 12 y 13 (AO131 y AO132). La SEC ID N.º: 88 muestra la secuencia de nucleótidos de los oligo nucleótidos preparados en el Ejemplo 14 y 15 (AO139 y AO140).

55 **LISTADO DE SECUENCIAS**

<110> Kobe University SANKYO CO., LTD.

<120> Fármacos de ácido nucleico ENA capaces de modificar el corte y empalme en precursores de ARNm

<130> N94646A

<150> JP 2002-340857

<151> 25-11-2002

<150> JP 2003-204381
<151> 31-07-2003

5 <160> 88

<170> PatentIn versión 3.1

10 <210> 1
<211> 31
<212> ADN
<213> oligonucleótido sintético

15 <400> 1
gctgagctg atctgctggc atctgcagt t 31

20 <210> 2
<211> 15
<212> ADN
<213> oligonucleótido sintético

25 <400> 2
gatctgctgg catct 15

30 <210> 3
<211> 22
<212> ADN
<213> oligonucleótido sintético

35 <400> 3
gatctgctgg catctgcag tt 22

40 <210> 4
<211> 19
<212> ADN
<213> oligonucleótido sintético

45 <400> 4
agctgatctg ctggcatct 19

50 <210> 5
<211> 24
<212> ADN
<213> oligonucleótido sintético

55 <400> 5
gctgagctg atctgctggc atct 24

60 <210> 6
<211> 20
<212> ADN
<213> oligonucleótido sintético

65 <400> 6
gatctgctgg catctgcag20

<210> 7
<211> 18
<212> ADN
<213> oligonucleótido sintético

<400> 7
gatctgctgg catctgc 18

<210> 8
<211> 21
<212> ADN

<213> oligonucleótido sintético
 <400> 8
 gcatgctcaa gaggaactc c 21
 5
 <210> 9
 <211> 21
 <212> ADN
 <213> oligonucleótido sintético
 10
 <400> 9
 tagcaactgg cagaattcga t 21
 <210> 10
 <211> 23
 <212> ADN
 <213> oligonucleótido sintético
 15
 <400> 10
 agttgagtct tcgaaactga gca 23
 20
 <210> 11
 <211> 18
 <212> ADN
 <213> oligonucleótido sintético
 25
 <400> 11
 aaactgagca aattgct 18
 30
 <210> 12
 <211> 18
 <212> ADN
 <213> oligonucleótido sintético
 35
 <400> 12
 ttgagtcttc aaaactga 18
 <210> 13
 <211> 18
 <212> ADN
 <213> oligonucleótido sintético
 40
 <400> 13
 gtgcaaagtt gagtcttc 18
 45
 <210> 14
 <211> 15
 <212> ADN
 <213> oligonucleótido sintético
 50
 <400> 14
 gccgctgccc aatgc 15
 <210> 15
 <211> 18
 <212> ADN
 <213> oligonucleótido sintético
 55
 <400> 15
 cgctgcccaa tgccatcc 18
 60
 <210> 16
 <211> 18
 <212> ADN
 <213> oligonucleótido sintético
 65

<400> 16
 cagtttgccg ctgcccaa 18

 5 <210> 17
 <211> 18
 <212> ADN
 <213> oligonucleótido sintético

 10 <400> 17
 tgttctgaca acagtttg 18

 <210> 18
 <211> 20
 <212> ADN
 15 <213> oligonucleótido sintético

 <400> 18
 gcttttcttt tagttgctgc 20

 20 <210> 19
 <211> 22
 <212> ADN
 <213> oligonucleótido sintético

 25 <400> 19
 ctttagttg ctgctctttt cc 22

 <210> 20
 <211> 18
 <212> ADN
 30 <213> oligonucleótido sintético

 <400> 20
 tttccaggt tcaagtg 18

 35 <210> 21
 <211> 15
 <212> ADN
 <213> oligonucleótido sintético

 40 <400> 21
 ctgcttctc caacc 15

 <210> 22
 <211> 20
 <212> ADN
 <213> oligonucleótido sintético

 45 <400> 22
 gttatctgct tctccaacc 20

 <210> 23
 <211> 15
 <212> ADN
 50 <213> oligonucleótido sintético

 <400> 23
 cugcuuccuc caacc 15

 60 <210> 24
 <211> 20
 <212> ADN
 <213> oligonucleótido sintético

 65 <400> 24
 guuauugcu uccuccaacc 20

<210> 25
 <211> 20
 <212> ADN
 <213> oligonucleótido sintético
 5
 <400> 25
 gcuuuucuuu uaguugcugc 20
 <210> 26
 <211> 24
 <212> ADN
 <213> oligonucleótido sintético
 10
 <400> 26
 ggtatcagta caagaggcag gctg 24
 <210> 27
 <211> 20
 <212> ADN
 <213> oligonucleótido sintético
 20
 <400> 27
 cacttctaag agggcttctg 20
 <210> 28
 <211> 27
 <212> ADN
 <213> oligonucleótido sintético
 25
 <400> 28
 gctgaacagt ttctcagaaa gacacaa 27
 <210> 29
 <211> 20
 <212> ADN
 <213> oligonucleótido sintético
 30
 <400> 29
 tccactggag attgtctgc 20
 <210> 30
 <211> 18
 <212> ADN
 <213> oligonucleótido sintético
 35
 <400> 30
 gaaaacgccg ccatuuct18
 <210> 31
 <211> 18
 <212> ADN
 <213> oligonucleótido sintético
 40
 <400> 31
 ctgutagcca ctgattaa 18
 <210> 32
 <211> 18
 <212> ADN
 <213> oligonucleótido sintético
 45
 <400> 32
 tgagaaactg tucagcut 18
 <210> 33
 <211> 18

<212> ADN
 <213> oligonucleótido sintético
 <400> 33
 caggaattug tgucuutc 18
 5
 <210> 34
 <211> 18
 <212> ADN
 <213> oligonucleótido sintético
 10
 <400> 34
 gtauttagca tgutccca 18
 <210> 35
 <211> 18
 <212> ADN
 <213> oligonucleótido sintético
 15
 <400> 35
 agcatgttcc caatuctc 18
 20
 <210> 36
 <211> 18
 <212> ADN
 <213> oligonucleótido sintético
 25
 <400> 36
 gccgcatuu cucaacag 18
 30
 <210> 37
 <211> 18
 <212> ADN
 <213> oligonucleótido sintético
 35
 <400> 37
 cataatgaaa acgccgcc18
 <210> 38
 <211> 18
 <212> ADN
 <213> oligonucleótido sintético
 40
 <400> 38
 tucccaatuc tcaggaat 18
 45
 <210> 39
 <211> 18
 <212> ADN
 <213> oligonucleótido sintético
 50
 <400> 39
 ccautugtau ttagcatg 18
 <210> 40
 <211> 18
 <212> ADN
 <213> oligonucleótido sintético
 55
 <400> 40
 ctcatatcuu ctaacuuc 18
 60
 <210> 41
 <211> 18
 <212> ADN
 <213> oligonucleótido sintético
 65

<400> 41
 accgcctucc actcagag 18
 <210> 42
 <211> 18
 <212> ADN
 <213> oligonucleótido sintético
 5

<400> 42
 tcttgaagta aacggtut 18
 10
 <210> 43
 <211> 18
 <212> ADN
 <213> oligonucleótido sintético
 15

<400> 43
 ggctgcttug ccctcagc 18
 20
 <210> 44
 <211> 18
 <212> ADN
 <213> oligonucleótido sintético

<400> 44
 agtccaggag ctaggta 18
 25
 <210> 45
 <211> 18
 <212> ADN
 <213> oligonucleótido sintético

<400> 45
 gctccaatag tggcagt 18
 30
 <210> 46
 <211> 18
 <212> ADN
 <213> oligonucleótido sintético

<400> 46
 gctaggtcag gctgcttu 18
 35
 <210> 47
 <211> 18
 <212> ADN
 <213> oligonucleótido sintético

<400> 47
 gcagccuctc gctcactc 18
 40
 <210> 48
 <211> 18
 <212> ADN
 <213> oligonucleótido sintético

<400> 48
 tcuuccaaag cagccuct 18
 45
 <210> 49
 <211> 18
 <212> ADN
 <213> oligonucleótido sintético

<400> 49
 tgcagtaatc uatgagtt 18
 50

<210> 50
 <211> 18
 <212> ADN
 <213> oligonucleótido sintético
 5
 <400> 50
 gttucagcut ctgtaagc 18
 <210> 51
 <211> 18
 <212> ADN
 <213> oligonucleótido sintético
 10
 <400> 51
 tgtaggacat tggcagtt 18
 <210> 52
 <211> 18
 <212> ADN
 <213> oligonucleótido sintético
 20
 <400> 52
 tccttacggg tagcaucc 18
 <210> 53
 <211> 18
 <212> ADN
 <213> oligonucleótido sintético
 25
 <400> 53
 agctcututa ctcccttg 18
 <210> 54
 <211> 18
 <212> ADN
 <213> oligonucleótido sintético
 35
 <400> 54
 ccautgutuc aucagctc 18
 <210> 55
 <211> 18
 <212> ADN
 <213> oligonucleótido sintético
 45
 <400> 55
 ctatgagttt ctccaaa 18
 <210> 56
 <211> 20
 <212> ADN
 <213> oligonucleótido sintético
 50
 <400> 56
 tgtgtcacca gaguaacagt 20
 <210> 57
 <211> 20
 <212> ADN
 <213> oligonucleótido sintético
 60
 <400> 57
 aggttguguc accagagtaa 20
 <210> 58
 <211> 20

<212> ADN
 <213> oligonucleótido sintético

5 <400> 58
 agtaaccaca gguugtgtca 20

10 <210> 59
 <211> 20
 <212> ADN
 <213> oligonucleótido sintético

15 <400> 59
 ttgatcaagc agagaaagcc 20

20 <210> 60
 <211> 20
 <212> ADN
 <213> oligonucleótido sintético

25 <400> 60
 caccucugu gauuutataa 20

30 <210> 61
 <211> 20
 <212> ADN
 <213> oligonucleótido sintético

35 <400> 61
 accaccauc acccuctgtg 20

40 <210> 62
 <211> 20
 <212> ADN
 <213> oligonucleótido sintético

45 <400> 62
 cctcaagguc acccaccatc 20

50 <210> 63
 <211> 18
 <212> ADN
 <213> oligonucleótido sintético

55 <400> 63
 taacagucug aguaggag 18

60 <210> 64
 <211> 18
 <212> ADN
 <213> oligonucleótido sintético

65 <400> 64
 ggcatuucua guutggag 18

70 <210> 65
 <211> 18
 <212> ADN
 <213> oligonucleótido sintético

75 <400> 65
 agccagucgg uaagtct 18

80 <210> 66
 <211> 18
 <212> ADN
 <213> oligonucleótido sintético

<400> 66
 agtttgaga uggcagtt 18

5 <210> 67
 <211> 18
 <212> ADN
 <213> oligonucleótido sintético

10 <400> 67
 ctgattctga attcuutc 18

15 <210> 68
 <211> 18
 <212> ADN
 <213> oligonucleótido sintético

20 <400> 68
 ttctgtact tcatcca 18

25 <210> 69
 <211> 18
 <212> ADN
 <213> oligonucleótido sintético

30 <400> 69
 ccuccgggtc tgaagggtg 18

35 <210> 70
 <211> 18
 <212> ADN
 <213> oligonucleótido sintético

40 <400> 70
 cattucautc aactggtg 18

45 <210> 71
 <211> 18
 <212> ADN
 <213> oligonucleótido sintético

50 <400> 71
 ttcttagct uccagcca 18

55 <210> 72
 <211> 18
 <212> ADN
 <213> oligonucleótido sintético

60 <400> 72
 taagacctgc tcagcutc 18

65 <210> 73
 <211> 18
 <212> ADN
 <213> oligonucleótido sintético

70 <400> 73
 cttggctctg gcctgucc 18

75 <210> 74
 <211> 18
 <212> ADN
 <213> oligonucleótido sintético

80 <400> 74
 ctctuccat gactcaag 18

<210> 75
 <211> 18
 <212> ADN
 <213> oligonucleótido sintético
 5
 <400> 75
 ctgaaggtgt tctgtac 18
 <210> 76
 <211> 18
 <212> ADN
 <213> oligonucleótido sintético
 10
 <400> 76
 ttccagccat tgggtga 18
 <210> 77
 <211> 18
 <212> ADN
 <213> oligonucleótido sintético
 20
 <400> 77
 ctcagctuct tccttagc 18
 <210> 78
 <211> 18
 <212> ADN
 <213> oligonucleótido sintético
 25
 <400> 78
 gcttcutccu tagcutcc 18
 <210> 79
 <211> 22
 <212> ADN
 <213> oligonucleótido sintético
 30
 <400> 79
 tagtctacaa caaagctcag gt 22
 <210> 80
 <211> 20
 <212> ADN
 <213> oligonucleótido sintético
 35
 <400> 80
 cttccccagc tgcattcaat 20
 <210> 81
 <211> 21
 <212> ADN
 <213> oligonucleótido sintético
 40
 <400> 81
 caaggagaaa ttgaagctca a 21
 <210> 82
 <211> 23
 <212> ADN
 <213> oligonucleótido sintético
 45
 <400> 82
 cgatccgtaa tgattgtct agc 23
 <210> 83
 <211> 21

<212> ADN
<213> oligonucleótido sintético

5 <400> 83
tggacagaac ttaccgactg g 21

10 <210> 84
<211> 20
<212> ADN
<213> oligonucleótido sintético

15 <400> 84
ggcggaggtc tttggccaac 20

20 <210> 85
<211> 22
<212> ADN
<213> oligonucleótido sintético

25 <400> 85
aaggattcaa cacaatggct gg 22

30 <210> 86
<211> 20
<212> ADN
<213> oligonucleótido sintético

35 <400> 86
gtaacaggac tgcacatcg 20

40 <210> 87
<211> 18
<212> ADN
<213> oligonucleótido sintético

45 <400> 87
ggcattucta guttgag 18

50 <210> 88
<211> 18
<212> ADN
<213> oligonucleótido sintético

55 <400> 88
agtutggaga tggcagtt 18

REIVINDICACIONES

1. Un compuesto capaz de inducir el salto del exón 51 del gen de la distrofina, que es (a) un oligonucleótido que consiste en la secuencia de nucleótidos mostrada en una cualquiera de las SEC ID N.º 64, 66, 87 y 88 donde al menos uno de los azúcares que constituye el oligonucleótido está modificado, y donde dicho azúcar es D-ribofuranosa y al menos una modificación de dicho azúcar es 2'-O,4'-C-alkilación de la D-ribofuranosa, o (b) un compuesto representado por la fórmula general (XV''); o una sal farmacológicamente aceptable del mismo, donde dicha fórmula general se define del siguiente modo:

10 $B_{T^{*15}}-B_{M^{*15}}-B_{B^{*15}}$ (XV'')

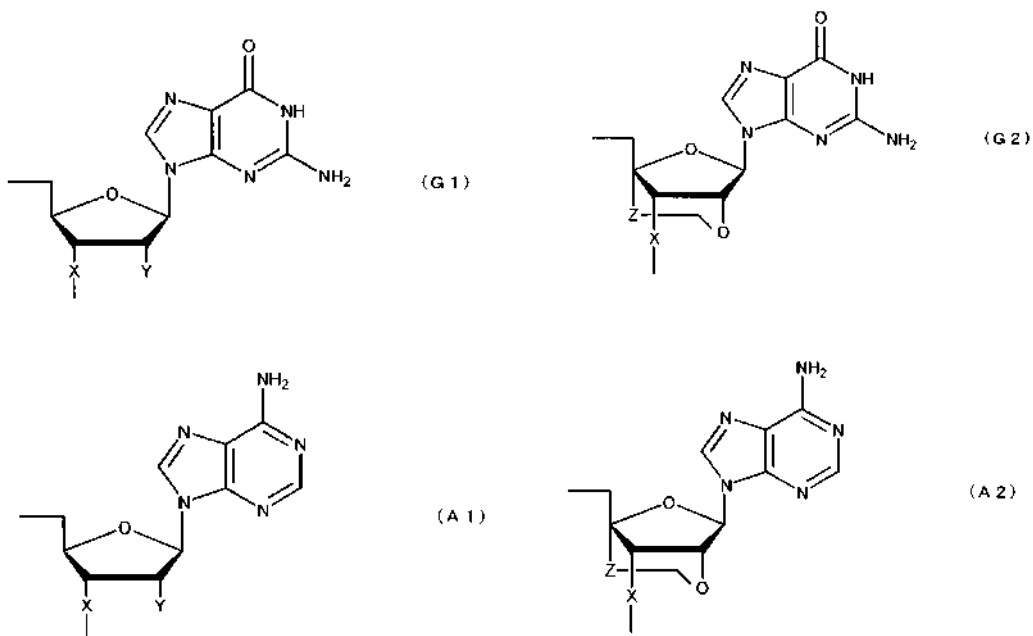
donde $B_{T^{*15}}$ es un grupo representado por uno cualquiera de los siguientes (15a'') a (15j''):

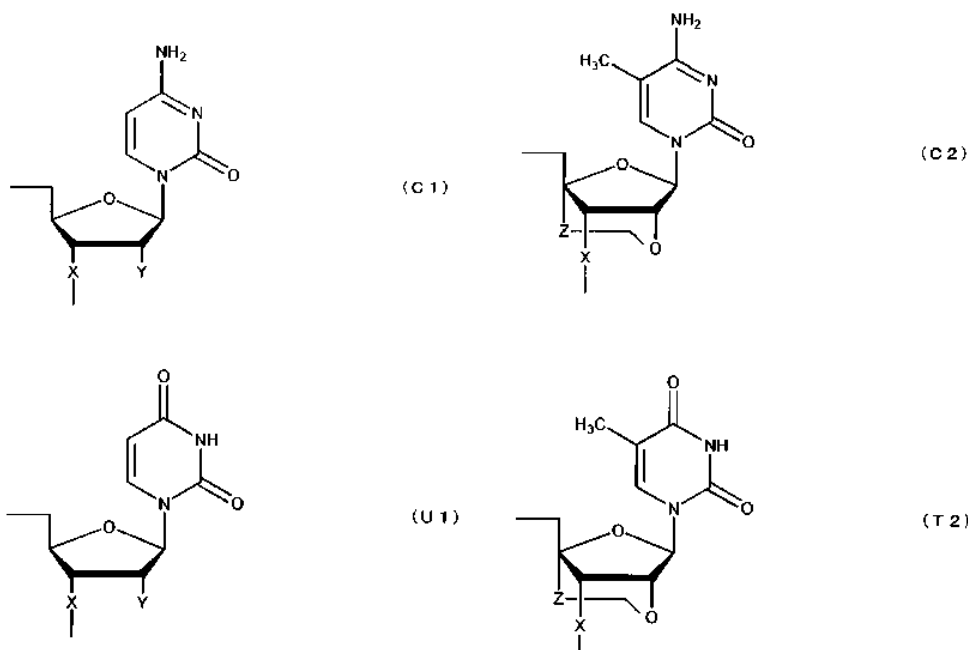
15 (15a'')HO-, (15b'')HO-Bt-,
 (15c'')HO-Bc-Bt-, (15d'')HO-Bt-Bc-Bt-,
 (15e'')HO-Bt-Bt-Bc-Bt-, (15f'')HO-Bt-Bt-Bt-Bc-Bt-,
 (15g'')HO-Ba-Bt-Bt-Bt-Bc-Bt-, (15h'')HO-Bc-Ba-Bt-Bt-Bt-Bc-Bt-,
 (15i'')HO-Bg-Bc-Ba-Bt-Bt-Bt-Bc-Bt- o (15j'')HO-Bg-Bg-Bc-Ba-Bt-Bt-Bt-Bc-Bt-

20 $B_{M^{*15}}$ es un grupo representado por la siguiente fórmula (15''): -Ba-Bg-Bt-Bt-Bt-Bg-Bg-Ba-Bg- (15'') $B_{B^{*15}}$ es un grupo representado por uno cualquiera de los siguientes (115a'') a (115j''):

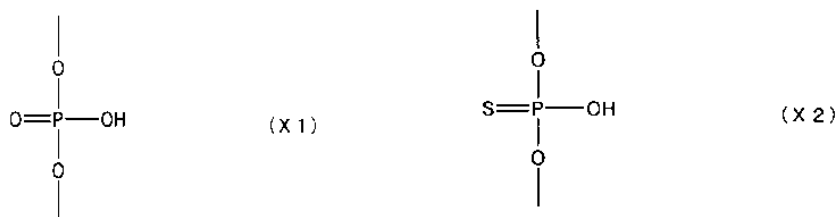
25 (115a'')-CH₂CH₂OH, (115b'')-Ba-CH₂CH₂OH,
 (115c'')-Ba-Bt-CH₂CH₂OH, (115d'')-Ba-Bt-Bg-CH₂CH₂OH,
 (115e'')-Ba-Bt-Bg-Bg-CH₂CH₂OH, (115f'')-Ba-Bt-Bg-Bg-Bc-CH₂CH₂OH,
 (115g'')-Ba-Bt-Bg-Bg-Bc-Ba-CH₂CH₂OH, (115h'')-Ba-Bt-Bg-Bg-Bc-Ba-Bg-CH₂CH₂OH,
 (115i'')-Ba-Bt-Bg-Bg-Bc-Ba-Bg-Bt-CH₂CH₂OH, o
 (115j'')-Ba-Bt-Bg-Bg-Bc-Ba-Bg-Bt-Bt-CH₂CH₂OH

30 donde Bg es un grupo representado por la siguiente fórmula (G1) o (G2); Ba es un grupo representado por la siguiente fórmula (A1) o (A2); Bc es un grupo representado por la siguiente fórmula (C1) o (C2); y Bt es un grupo representado por la siguiente fórmula (U1) o (T2):





donde X es individual e independientemente un grupo representado por la siguiente fórmula (X1) o (X2):



5 Y es individual e independientemente un átomo de hidrógeno, un grupo hidroxilo o un grupo alcoxi con 1-6 átomos de carbono;
 y Z es individual e independientemente un enlace sencillo o un grupo alquileo con 1-5 átomos de carbono;
 con la condición de que al menos uno de los nucleósidos que constituyen el compuesto representado por la fórmula
 10 (XV'') tenga un grupo 2'-O,4'-alquileo.

2. El compuesto de acuerdo con la reivindicación 1 o una sal farmacológicamente aceptable del mismo, que comprende adicionalmente la 2'-O-alquilación de la D-ribofuranosa.

15 3. El compuesto de acuerdo con la reivindicación 1 o 2 o una sal farmacológicamente aceptable del mismo, donde al menos uno de los fosfatos que constituye el oligonucleótido está modificado.

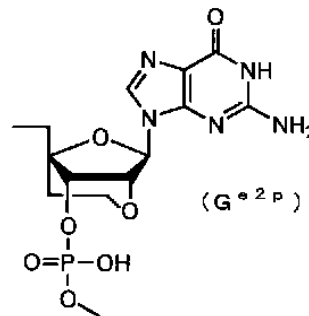
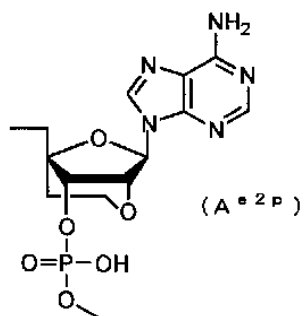
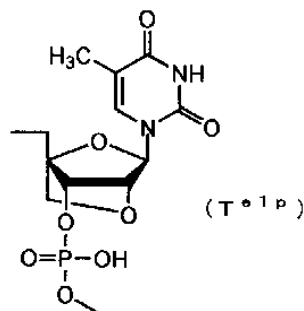
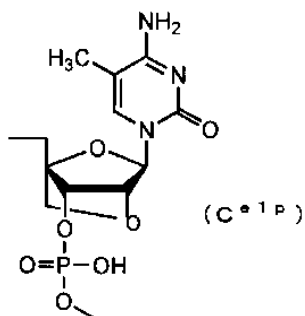
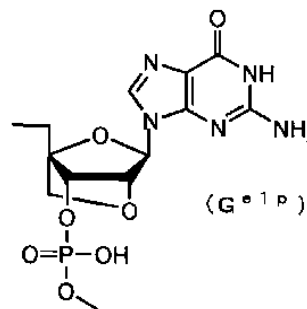
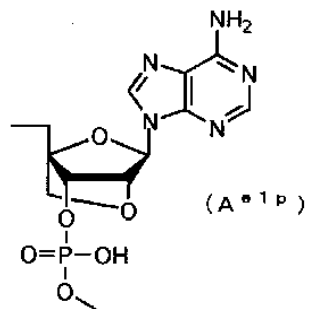
20 4. El compuesto de acuerdo con la reivindicación 3 o una sal farmacológicamente aceptable del mismo, donde la modificación del fosfato es tioación del grupo fosfato.

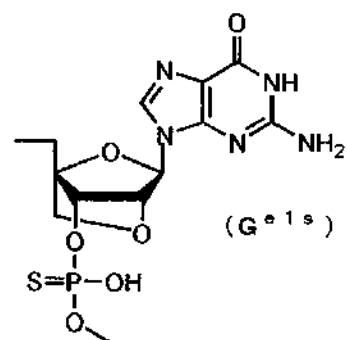
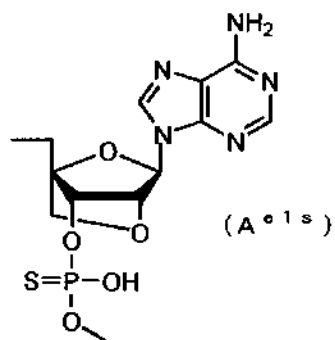
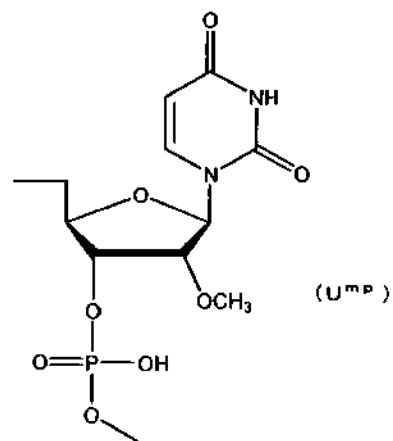
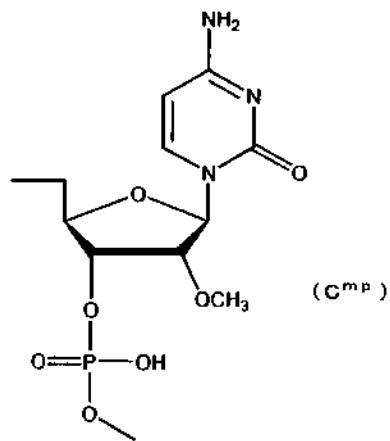
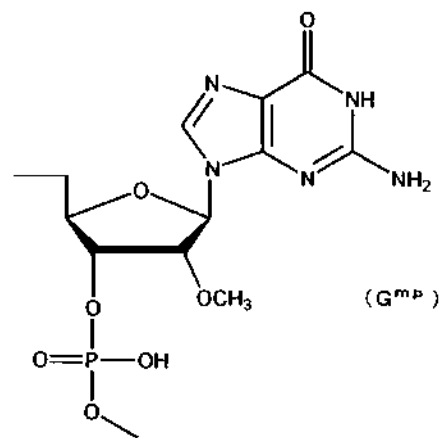
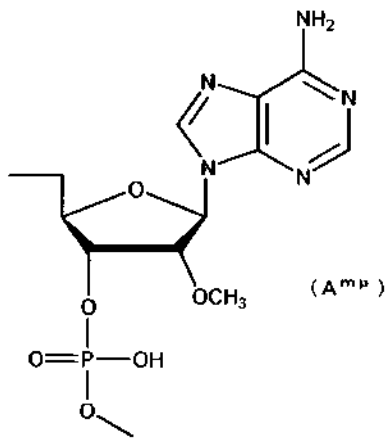
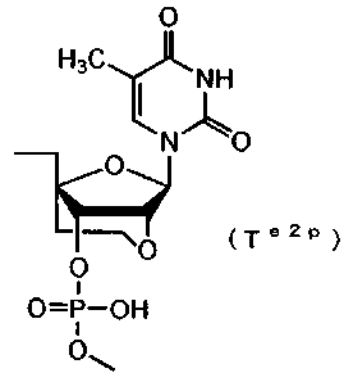
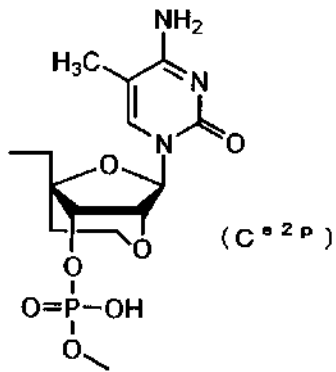
25 5. El compuesto de acuerdo con una cualquiera de las reivindicaciones 1 a 4, que se representa por una cualquiera de las fórmulas seleccionadas entre el grupo que consiste en (XV''-1), (XV''-2), (XV''-3), (XV''-4), (XV''-5), (XV''-6), (XV''-7), (XV''-8), (XV''-9), (XV''-10), (XV''-11), (XV''-12), (XV''-13), (XV''-14), (XV''-15), (XV''-16), (XV''-17), (XV''-18), (XV''-19), (XV''-20), (XV''-21), (XV''- 22), (XV''-23) y (XV''-24) o una sal farmacológicamente aceptable del mismo:

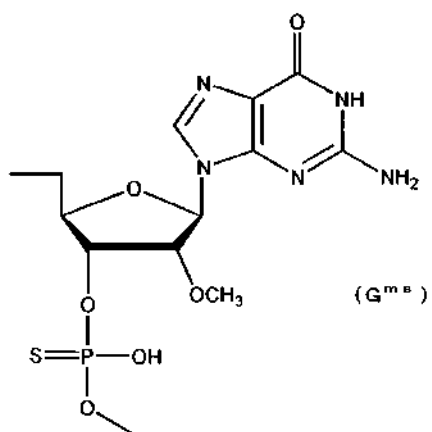
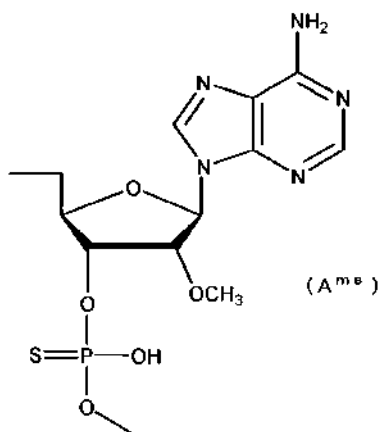
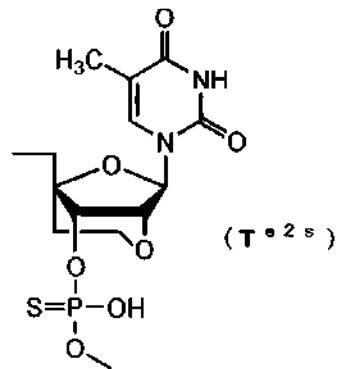
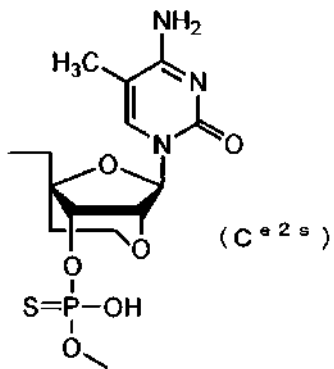
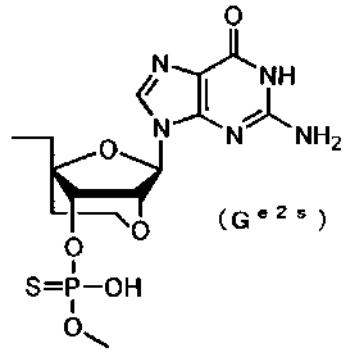
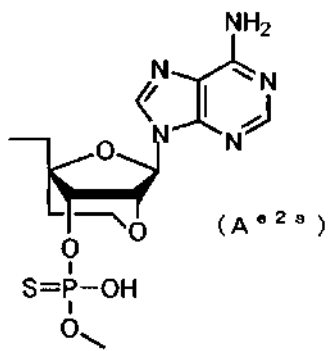
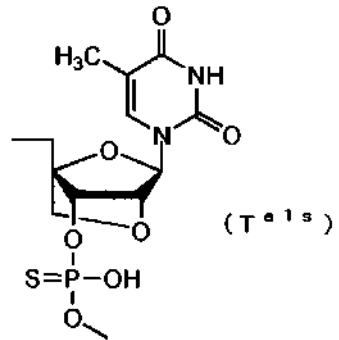
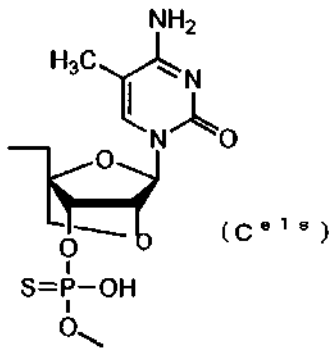
- 30 (XV''-1) HO-G^{e2p}-G^{e2p}-C^{e2p}-A^{e2p}-T^{e2p}-U^{mp}-U^{mp}-C^{mp}-U^{mp}-A^{mp}-G^{mp}-U^{mp}-U^{mp}-T^{e2p}-G^{e2p}-A^{e2p}-G^{e2p}-CH₂CH₂OH;
 (XV''-2) HO-A^{e2p}-G^{e2p}-T^{e2p}-T^{e2p}-G^{mp}-G^{mp}-A^{mp}-G^{mp}-A^{mp}-U^{mp}-G^{mp}-G^{mp}-C^{e2p}-A^{e2p}-G^{e2p}-T^{e2p}-T^{e2p}-CH₂CH₂OH;
 (XV''-3) HO-G^{mp}-G^{mp}-C^{e2p}-A^{mp}-T^{e2p}-T^{e2p}-U^{mp}-C^{e2p}-T^{e2p}-A^{mp}-G^{mp}-U^{mp}-T^{e2p}-T^{e2p}-G^{mp}-G^{mp}-A^{e2p}-G^{mp}-CH₂
 CH₂OH;
 35 (XV''-4) HO-A^{e2p}-G^{mp}-T^{e2p}-U^{mp}-T^{e2p}-G^{mp}-G^{mp}-A^{e2p}-G^{mp}-A^{mp}-T^{e2p}-G^{mp}-G^{mp}-C^{e2p}-A^{e2p}-G^{mp}-T^{e2p}-T^{e2p}-CH₂
 CH₂OH;
 (XV''-5) HO-G^{e1p}-G^{e1p}-C^{e1p}-A^{e1p}-T^{e1p}-U^{mp}-U^{mp}-C^{mp}-U^{mp}-A^{mp}-G^{mp}-U^{mp}-U^{mp}-T^{e1p}-G^{e1p}-A^{e1p}-G^{e1p}-CH₂CH₂OH;
 (XV''-6) HO-A^{e1p}-G^{e1p}-T^{e1p}-T^{e1p}-G^{mp}-G^{mp}-A^{mp}-G^{mp}-A^{mp}-U^{mp}-G^{mp}-G^{mp}-C^{e1p}-A^{e1p}-G^{e1p}-T^{e1p}-T^{e1p}-CH₂CH₂OH;
 (XV''-7) HO-G^{mp}-G^{mp}-C^{mp}-A^{mp}-T^{e1p}-T^{e1p}-U^{mp}-C^{e1p}-T^{e1p}-A^{mp}-G^{mp}-U^{mp}-T^{e1p}-T^{e1p}-G^{mp}-G^{mp}-A^{e1p}-G^{mp}-CH₂
 CH₂OH;

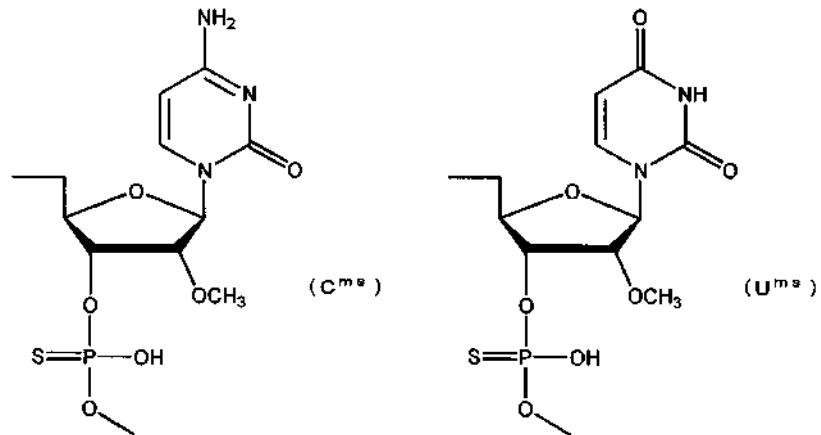
- (XV"-8) HO-A^{e1p}-G^{mp}-T^{e1p}-U^{mp}-T^{e1p}-G^{mp}-G^{mp}-A^{e1p}-G^{mp}-A^{mp}-T^{e1p}-G^{mp}-G^{mp}-C^{e1p}-A^{e1p}-G^{mp}-T^{e1p}-T^{e1p}-CH₂CH₂OH;
- (XV"-9) HO-G^{e2p}-G^{e2p}-C^{e2p}-A^{e2p}-T^{e2p}-U^{ms}-U^{ms}-C^{ms}-U^{ms}-A^{ms}-G^{ms}-U^{ms}-U^{ms}-T^{e2p}-G^{e2p}-G^{e2p}-A^{e2p}-G^{e2p}-CH₂CH₂OH;
- (X"-10) HO-A^{e2p}-G^{e2p}-T^{e2p}-T^{e2p}-T^{e2p}-G^{ms}-G^{ms}-A^{ms}-G^{ms}-A^{ms}-U^{ms}-G^{ms}-G^{ms}-C^{e2p}-A^{e2p}-G^{e2p}-T^{e2p}-T^{e2p}-CH₂CH₂OH;
- (XV"-11) HO-G^{ms}-G^{ms}-C^{e2p}-A^{ms}-T^{e2p}-T^{e2p}-U^{ms}-C^{e2p}-T^{e2p}-A^{ms}-G^{ms}-U^{ms}-T^{e2p}-T^{e2p}-G^{ms}-G^{ms}-A^{e2p}-G^{ms}-CH₂CH₂OH;
- (XV"-12) HO-A^{e2p}-G^{ms}-T^{e2p}-U^{ms}-T^{e2p}-G^{ms}-G^{ms}-A^{e2p}-G^{ms}-A^{ms}-T^{e2p}-G^{ms}-G^{ms}-C^{e2p}-A^{e2p}-G^{ms}-T^{e2p}-T^{e2p}-CH₂CH₂OH;
- (XV"-13) HO-G^{e1p}-G^{e1p}-C^{e1p}-A^{e1p}-T^{e1p}-U^{ms}-U^{ms}-C^{ms}-U^{ms}-A^{ms}-G^{ms}-U^{ms}-U^{ms}-T^{e1p}-G^{e1p}-G^{e1p}-A^{e1p}-G^{e1p}-CH₂CH₂OH;
- (XV"-14) HO-A^{e1p}-G^{e1p}-T^{e1p}-T^{e1p}-T^{e1p}-G^{ms}-G^{ms}-A^{ms}-G^{ms}-A^{ms}-U^{ms}-G^{ms}-G^{ms}-C^{e1p}-A^{e1p}-G^{e1p}-T^{e1p}-T^{e1p}-CH₂CH₂OH;
- (XV"-15) HO-G^{ms}-G^{ms}-C^{e1p}-A^{ms}-T^{e1p}-T^{e1p}-U^{ms}-C^{e1p}-T^{e1p}-A^{ms}-G^{ms}-U^{ms}-T^{e1p}-T^{e1p}-G^{ms}-G^{ms}-A^{e1p}-G^{ms}-CH₂CH₂OH;
- (X"-16) HO-A^{e1p}-G^{ms}-T^{e1p}-U^{ms}-T^{e1p}-G^{ms}-G^{ms}-A^{e1p}-G^{ms}-A^{ms}-T^{e1p}-G^{ms}-G^{ms}-C^{e1p}-A^{e1p}-G^{ms}-T^{e1p}-T^{e1p}-CH₂CH₂OH;
- (XV"-17) HO-G^{e2s}-G^{e2s}-C^{e2s}-A^{e2s}-T^{e2s}-U^{ms}-U^{ms}-C^{ms}-U^{ms}-A^{ms}-G^{ms}-U^{ms}-U^{ms}-T^{e2s}-G^{e2s}-G^{e2s}-A^{e2s}-G^{e2s}-CH₂CH₂OH;
- (XV"-18) HO-A^{e2s}-G^{e2s}-T^{e2s}-T^{e2s}-T^{e2s}-G^{ms}-G^{ms}-A^{ms}-G^{ms}-A^{ms}-U^{ms}-G^{ms}-G^{ms}-C^{e2s}-A^{e2s}-G^{e2s}-T^{e2s}-T^{e2s}-CH₂CH₂OH;
- (XV"-19) HO-G^{ms}-G^{ms}-C^{e2s}-A^{ms}-T^{e2s}-T^{e2s}-U^{ms}-C^{e2s}-T^{e2s}-A^{ms}-G^{ms}-U^{ms}-T^{e2s}-T^{e2s}-G^{ms}-G^{ms}-A^{e2s}-G^{ms}-CH₂CH₂OH;
- (XV"-20) HO-A^{e2s}-G^{ms}-T^{e2s}-U^{ms}-T^{e2s}-G^{ms}-G^{ms}-A^{e2s}-G^{ms}-A^{ms}-T^{e2s}-G^{ms}-G^{ms}-C^{e2s}-A^{e2s}-G^{ms}-T^{e2s}-T^{e2s}-CH₂CH₂OH;
- (XV"-21) HO-G^{e1s}-G^{e1s}-C^{e1s}-A^{e1s}-T^{e1s}-U^{ms}-U^{ms}-C^{ms}-U^{ms}-A^{ms}-G^{ms}-U^{ms}-U^{ms}-T^{e1s}-G^{e1s}-G^{e1s}-A^{e1s}-G^{e1s}-CH₂CH₂OH;
- (XV"-22) HO-A^{e1s}-G^{e1s}-T^{e1s}-T^{e1s}-T^{e1s}-G^{ms}-G^{ms}-A^{ms}-G^{ms}-A^{ms}-U^{ms}-G^{ms}-G^{ms}-C^{e1s}-A^{e1s}-G^{e1s}-T^{e1s}-T^{e1s}-CH₂CH₂OH;
- (XV"-23) HO-G^{ms}-G^{ms}-C^{e1s}-A^{ms}-T^{e1s}-T^{e1s}-U^{ms}-C^{e1s}-T^{e1s}-A^{ms}-G^{ms}-U^{ms}-T^{e1s}-T^{e1s}-G^{ms}-G^{ms}-A^{e1s}-G^{ms}-CH₂CH₂OH;
- (XV"-24) HO-A^{e1s}-G^{ms}-T^{e1s}-U^{ms}-T^{e1p}-G^{ms}-G^{ms}-A^{e1p}-G^{ms}-A^{ms}-T^{e1p}-G^{ms}-G^{ms}-C^{e1p}-A^{e1p}-G^{ms}-T^{e1p}-T^{e1p}-CH₂CH₂OH

donde A^{e1p}, G^{e1p}, C^{e1p}, T^{e1p}, A^{e2p}, G^{e2p}, C^{e2p}, T^{e2p}, A^{mp}, G^{mp}, C^{mp}, U^{mp}, A^{e1s}, G^{e1s}, C^{e1s}, T^{e1s}, A^{e2s}, G^{e2s}, C^{e2s}, T^{e2s}, A^{ms}, G^{ms}, C^{ms} y U^{ms} son grupos que tienen las siguientes estructuras, respectivamente:









6. El compuesto de acuerdo con la reivindicación 5, que se selecciona entre los compuestos (XV"-1), (XV"-2), (XV"-3), (XV"-4), (XV"-17), (XV"-18), (XV"-19) y (XV"-20).

5 7. Un agente terapéutico para la distrofia muscular, que comprende el compuesto de acuerdo con una cualquiera de las reivindicaciones 1-6 o una sal farmacológicamente aceptable del mismo.

10 8. El agente terapéutico de acuerdo con la reivindicación 7, cuya diana de tratamiento es aquellos pacientes en los que la cantidad total de aminoácidos en la fase de lectura abierta del gen de la distrofina será un múltiplo de 3 cuando el exón 51 del gen de la distrofina se ha saltado.

15 9. Un compuesto de acuerdo con una cualquiera de las reivindicaciones 1 a 6 o un agente terapéutico de acuerdo con la reivindicación 7 u 8 para su uso en el tratamiento de la distrofia muscular.

10. Uso de un compuesto de acuerdo con una cualquiera de las reivindicaciones 1 a 6 en la fabricación de un medicamento para tratar la distrofia muscular.

20 11. Uso de acuerdo con la reivindicación 10, donde la diana de tratamiento es aquellos pacientes en que la cantidad total de aminoácidos en la fase de lectura abierta del gen de la distrofina será un múltiplo de 3 cuando el exón 51 del gen de la distrofina se ha saltado.

25 12. Un agente terapéutico de acuerdo con la reivindicación 7 u 8, un compuesto o agente terapéutico para su uso de acuerdo con la reivindicación 9 o un uso de acuerdo con la reivindicación 10 u 11 donde dicha distrofia muscular es distrofia muscular de Duchenne.

FIG. 1

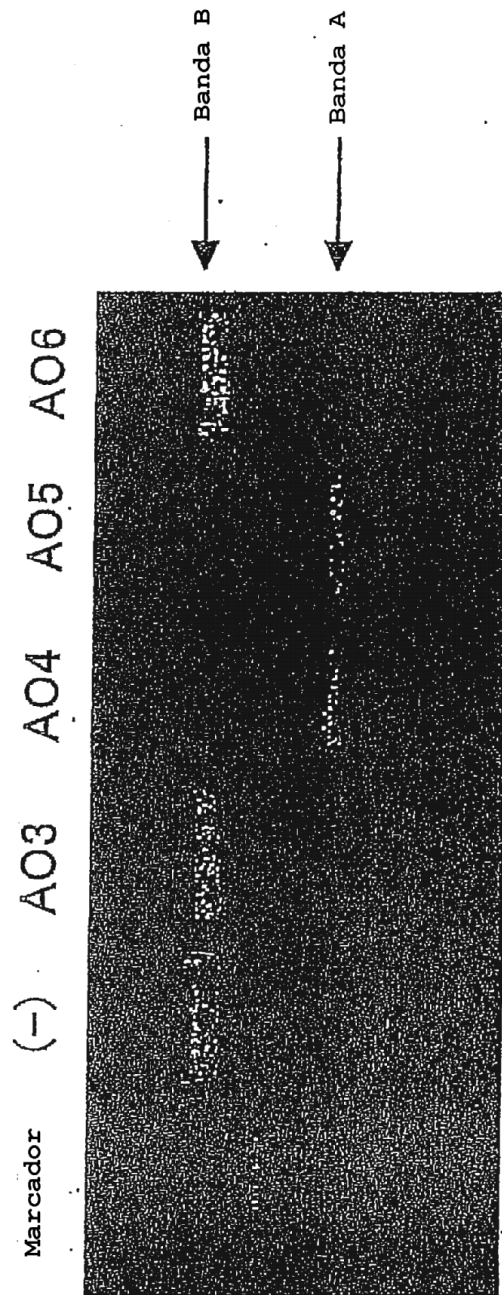


FIG. 2

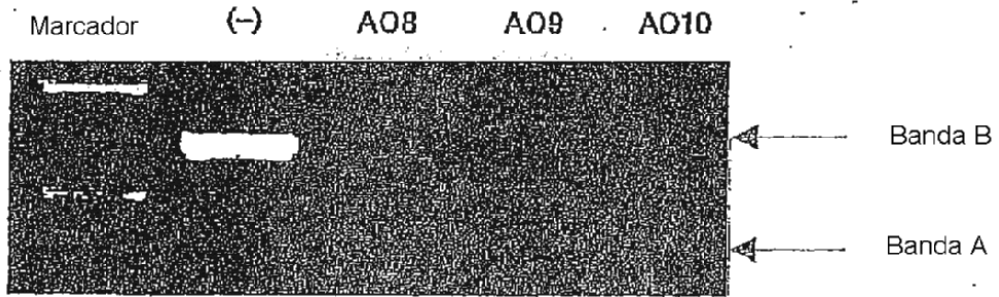


FIG. 3

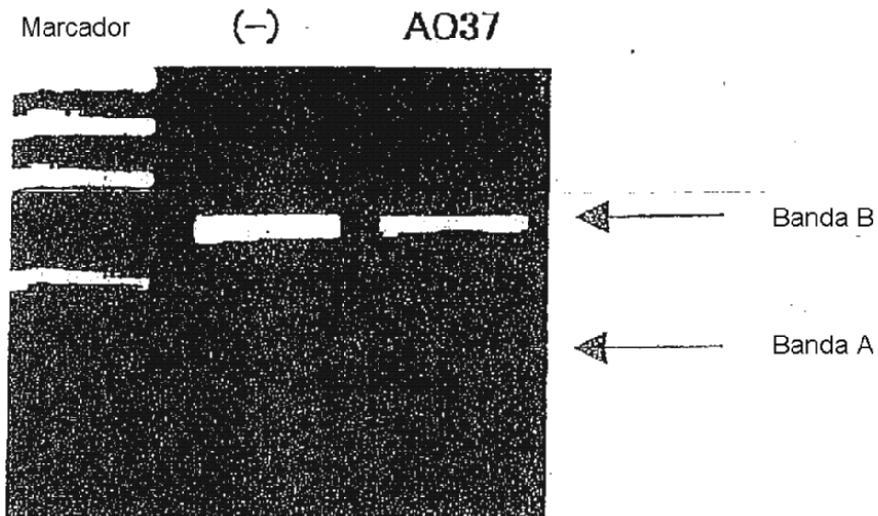


FIG 4.

